

อภินันทนาการ



รายงานวิจัยฉบับสมบูรณ์

การพัฒนาการผลิต Lovastatin จากเชื้อรา *Aspergillus terreus* ATCC 20542

โดยใช้น้ำมันพืชเป็นแหล่งคาร์บอนหลักและเสริม

(Improvement of Lovastatin Production by *Aspergillus terreus* ATCC 20542

Using Vegetable Oils as Sole and Supplement Carbon Sources)

โดย รองศาสตราจารย์ ดร. พัฒนา ศรีพลากิจ และคณะ

สำนักหอสมุด มหาวิทยาลัยเกษตรศาสตร์

วันลงทะเบียน..... - 4 พ.ศ. 2555

เลขทะเบียน..... 15896538

เลขเรียกหนังสือ..... ๑ QP

๗๙

๗๖๓๒

๒๖

พฤษภาคม 2555

สัญญาเลขที่ R2554B058

รายงานวิจัยฉบับสมบูรณ์

การพัฒนาการผลิต Lovastatin จากเชื้อรา *Aspergillus terreus* ATCC 20542

โดยใช้น้ำมันพืชเป็นแหล่งคาร์บอนหลักและเสริม

(Improvement of Lovastatin Production by *Aspergillus terreus* ATCC 20542

Using Vegetable Oils as Sole and Supplement Carbon Sources)

คณะผู้วิจัย

รองศาสตราจารย์ ดร. พัฒนา ศรีพลากิจ

สังกัด ภาควิชาเคมีและเคมีอิเล็กทรอนิกส์ คณะเคมีศาสตร์ มหาวิทยาลัยนเรศวร

รองศาสตราจารย์ ดร. อรสร สารพันโขตวิทยา

สังกัด ภาควิชาเทคโนโลยีเคมีและเคมีอิเล็กทรอนิกส์ คณะเคมีศาสตร์ มหาวิทยาลัยนเรศวร

สนับสนุนโดยงบประมาณแผ่นดิน มหาวิทยาลัยนเรศวร

กิตติกรรมประกาศ

โครงการวิจัยเรื่อง “การพัฒนาการผลิต lovastatin จากเชื้อรา *Aspergillus terreus* ATCC 20542 โดยใช้น้ำมันพืชเป็นแหล่งอนหลักและเสริม (Improvement of lovastatin production by *Aspergillus terreus* ATCC 20542 using vegetable oils as sole and supplement carbon sources)” นี้ ได้รับทุนอุดหนุนการวิจัยจากงบประมาณแผ่นดิน มหาวิทยาลัยนเรศวร ปี 2554 สาขา วิทยาศาสตร์เคมีและเกสซ์

คณะกรรมการวิจัยของบคุณ คณะกรรมการศาสตร์ มหาวิทยาลัยนเรศวร ที่ได้อี๊เพื่อเครื่องมือ วิทยาศาสตร์และสถานที่ในการดำเนินงานตลอดโครงการวิจัย และของบคุณนางสาวจารยา รื่น เกษยร ผู้ช่วยวิจัยประจำโครงการวิจัยฯ ที่ช่วยให้โครงการนี้สำเร็จลงด้วยดี

รองศาสตราจารย์ ดร. พัฒนา ศรีพลาภิจ

บทคัดย่อ

โครงการวิจัย	การพัฒนาการผลิต lovastatin จากเชื้อรา <i>Aspergillus terreus</i> ATCC 20542 โดยใช้น้ำมันพืชเป็นแหล่งคาร์บอนหลักและเสริม
ผู้วิจัย	รองศาสตราจารย์ ดร. พัฒนา ศรีพลากิจ รองศาสตราจารย์ ดร. อรสร สารพัน ไซติวิทยา
หน่วยงานที่สังกัด	คณะเภสัชศาสตร์ มหาวิทยาลัยนเรศวร
หมายเลขโทรศัพท์	055-961861
ไดร์บุทนอุดหนุน	การวิจัยสาขาวิทยาศาสตร์เคมีและเภสัช
งบประมาณแผ่นดิน	ประจำปี 2554
จำนวนเงิน	200,000 บาท
ระยะเวลาทำการวิจัย	1 ปี (1 ธันวาคม พ.ศ. 2553 ถึง 30 พฤษภาคม พ.ศ. 2554)

การศึกษาผลของน้ำมันพืชเพื่อใช้เป็นแหล่งคาร์บอนหลักและเสริมในการผลิต lovastatin โดย *Aspergillus terreus* ATCC 20542 ในอาหารเหลว น้ำมันพืช 11 ชนิดที่ใช้ในการทดสอบ ได้แก่ น้ำมันเมล็ดชา น้ำมันคาโนลา น้ำมันมะพร้าว น้ำมันข้าวโพด น้ำมันมะกอก น้ำมันปาล์มโอลีเยอิน น้ำมันรำข้าว น้ำมันเมล็ดดอกคำฝอย น้ำมันงา น้ำมันถั่วเหลือง และน้ำมันเมล็ดดอกทานตะวัน โดยทำการตรวจความเข้มข้นของ lovastatin และน้ำหนักเชือราแห้ง จากการศึกษาพบว่าการทดลองที่มีการเติมน้ำมันพืชทุกชนิดลงในอาหารเหลวจะมีปริมาณ lovastatin สูงกว่าการทดลองควบคุมโดยเฉพาะอย่างยิ่ง น้ำมันมะพร้าวและน้ำมันถั่วเหลืองจะให้ปริมาณ lovastatin สูง 8.2 และ 5.9 เท่า กว่าการทดลองควบคุมที่ไม่เติมน้ำมันพืช ตามลำดับ น้ำหนักเชือราแห้งจะเปรียบเทียบกับความเข้มข้นของน้ำมันมะพร้าว แต่การเติมน้ำมันปริมาณสูงเกินไปจะทำให้ผลิตภัณฑ์ลดลง ทั้งการเลี้ยงเชื้อรากที่มีน้ำมันมะพร้าวและน้ำมันถั่วเหลืองเป็นแหล่งคาร์บอนหลักจะให้ปริมาณผลิตภัณฑ์ต่ำกว่า การทดลองควบคุมที่ใช้น้ำมันพืชทั้งสององค์ประกอบเป็นแหล่งคาร์บอนเสริม ดังนั้นจึงสรุปได้ว่าน้ำมันพืชเป็นแหล่งคาร์บอนเสริมที่ดีสำหรับการเพิ่มประสิทธิภาพการผลิต lovastatin

ABSTRACT

Title	Improvement of lovastatin production by <i>Aspergillus terreus</i> ATCC 20542 using vegetable oils as sole and supplement carbon sources
By	Assoc. Prof. Dr. Pattana Sripalakit Assoc. prof. Dr. Aurasorn Saraphanchotiwitthaya
Affiliation	Faculty of Pharmaceutical Sciences, Naresuan University
Telephone	055-961861
Financial support	National Research Council of Thailand
Budget	200,000 Baht
Duration	1 Year (1 December 2010 - 30 November 2011)

The effect of vegetable oils as sole and supplementary carbon sources during the production of lovastatin by *Aspergillus terreus* ATCC 20542 in submerged culture has been study. The eleven vegetable oils tested were camellia tea oil, canola oil, coconut oil, corn oil, olive oil, palm olein oil, rice bran oil, safflower oil, sesame oil, soya bean oil and sunflower oil. Lovastatin concentration and biomass were measured. Lovastatin productions with vegetable oil containing media were higher yield than the control medium. In particular, coconut oil and soya bean oil significantly improved lovastatin production with 8.2- and 5.9-fold higher, respectively, compared with the media without vegetable oil supplementation. Biomass was proportional to coconut oil concentration, but an excessive concentration of oil resulted in a lower yield. Both cultivations with coconut oil and soya bean oil used as a sole carbon source gave lower production than the control medium with vegetable oil supplementation. Thus, it can be concluded that vegetable oils appear to be excellent supplementary carbon sources for improving lovastatin production efficiency.

สรุประยงานวิจัย (Executive Summary)

สัญญาเลขที่	R2554B058
โครงการวิจัย	การพัฒนาการผลิต lovastatin จากเชื้อรา <i>Aspergillus terreus</i> ATCC 20542 โดยใช้น้ำมันพืชเป็นแหล่งคาร์บอนหลักและเสริม
หัวหน้าโครงการ	รองศาสตราจารย์ ดร. พัฒนา ศรีพลากิจ
หน่วยงานที่สังกัด	คณะเภสัชศาสตร์ มหาวิทยาลัยนเรศวร
จำนวนเงิน	200,000 บาท
ระยะเวลาทำการวิจัย	1 ปี (1 ธันวาคม พ.ศ. 2553 ถึง 30 พฤษภาคม พ.ศ. 2554)

ความสำคัญและที่มาของปัญหา

ปัจจุบันพบผู้ป่วยโรคระบบหัวใจและหลอดเลือดเพิ่มขึ้น ทำให้การใช้ยา_rักษาโรค ดังกล่าวมีความจำเป็นเพิ่มขึ้น lovastatin เป็นยาในกลุ่มลดคลอเลสเตอรอล (cholesterol-lowering drug) ที่ใช้กันอย่างแพร่หลายในการรักษาโรคระบบหัวใจและหลอดเลือด lovastatin ผลิตได้จาก กระบวนการหมักโดยเชื้อรา *Aspergillus terreus* ขาดกล่าวมีราคาค่อนข้างสูง เนื่องจากผลิตแต่ละ ครั้งได้ปริมาณน้อย การพัฒนาเทคโนโลยีการหมักให้มีประสิทธิภาพจึงมีความสำคัญต่อผลผลิต เพื่อให้ได้ยาปริมาณสูงขึ้น ซึ่งโดยทั่วไปแล้วนิคของสารอาหารที่ใช้สำหรับเดี่ยงเชื้อรานี้ ความสัมพันธ์โดยตรงกับปริมาณผลิตภัณฑ์ที่เกิดขึ้น น้ำมันพืช เช่น น้ำมันถั่วเหลือง เป็นสารอาหาร ชนิดหนึ่งซึ่งมีประโยชน์ต่อกระบวนการหมักของยาหลายชนิด เช่น erythromycin tetracycline cephalexin C clavulanic acid และ gentamicin เป็นต้น การประยุกต์ใช้น้ำมันพืชต่อการพัฒนาการ ผลิต lovastatin จากเชื้อรา *Aspergillus terreus* ATCC 20542 จึงมีความน่าสนใจเป็นอย่างยิ่ง

วัตถุประสงค์

เพื่อศึกษาผลของน้ำมันพืชเป็นแหล่งคาร์บอนหลักและเสริมต่อการผลิต lovastatin

ผลการวิจัย

การศึกษาผลของน้ำมันพืชเพื่อใช้เป็นแหล่งคาร์บอนหลักและเสริมในการผลิต lovastatin โดย *Aspergillus terreus* ATCC 20542 ในอาหารเหลว น้ำมันพืช 11 ชนิดที่ใช้ในการทดสอบ ได้แก่ น้ำมันเมล็ดชา (camellia tea oil) น้ำมันคานولا (canola oil) น้ำมันมะพร้าว (coconut oil) น้ำมัน

ข้าวโพด (corn oil) น้ำมันมะกอก (olive oil) น้ำมันปาล์มโอลีน (palm olein oil) น้ำมันรำข้าว (rice bran oil) น้ำมันเมล็ดดอกคำฝอย (safflower oil) น้ำมันงา (sesame oil) น้ำมันถั่วเหลือง (soya bean oil) และน้ำมันเมล็ดดอกทานตะวัน (sunflower oil) โดยทำการตรวจวัดความเข้มข้นของ lovastatin และน้ำหนักเชื้อราแห้ง จากการศึกษาพบว่าการทดลองที่มีการเติมน้ำมันพืชทุกชนิดลงในอาหารเหلوวะมีปริมาณ lovastatin สูงกว่าการทดลองควบคุม โดยเฉพาะอย่างยิ่ง น้ำมันมะพร้าว และน้ำมันถั่วเหลืองจะให้ปริมาณ lovastatin สูง 8 และ 5 เท่ากว่าการทดลองควบคุมที่ไม่เติมน้ำมันพืช ตามลำดับ น้ำหนักเชื้อราแห้งจะเพรียบเท่ากับความเข้มข้นของน้ำมันมะพร้าว แต่การเติมน้ำมันบริมาณสูงเกินไปจะทำให้ผลิตภัณฑ์ลดลง ทั้งการเลือยเชื้อราที่มีน้ำมันมะพร้าวและน้ำมันถั่วเหลืองเป็นแหล่งการรับอนหลักจะให้ปริมาณผลิตภัณฑ์ต่ำกว่าการทดลองควบคุมที่ใช้น้ำมันพืชทั้งสองดังกล่าวเป็นแหล่งการรับอนเสริม ดังนั้นจึงสรุปได้ว่าน้ำมันพืชเป็นแหล่งการรับอนเสริมที่ดีสำหรับการเพิ่มประสิทธิภาพการผลิต lovastatin

Output ของงานวิจัย

นำเสนอผลงานในงานประชุมวิชาการที่มีการตีพิมพ์เฉพาะ Abstract จำนวน 1 เรื่อง ในการประชุมวิชาการวิทยาศาสตร์และเทคโนโลยีแห่งประเทศไทย ครั้งที่ 37 (วทท 37)

สารบัญ

หน้า

กิตติกรรมประกาศ	๑
บทคัดย่อ	๑
Abstract	๑
สรุปรายงานวิจัย (Executive Summary)	๑
สารบัญตาราง	๒
สารบัญรูป	๒
1. บทนำ	1
1.1 การทบทวนเอกสารที่เกี่ยวข้อง	1
1.2 ความสำคัญและที่มาของปัญหา	2
1.3 วัตถุประสงค์	2
1.4 ขอบเขตการวิจัย	3
1.5 วิธีการดำเนินการวิจัย	3
1.6 ทฤษฎีและแนวความคิดที่นำมาใช้ในการวิจัย	4
1.7 ประโยชน์ที่คาดว่าจะได้รับ	5
2. วิธีดำเนินการวิจัยและผลการวิจัย	6
2.1 วิธีดำเนินการวิจัย	6
2.1.1 เชื้อรามาตรฐาน	6
2.1.2 สารเคมี	6
2.1.3 การเตรียมตัวอย่างและการวิเคราะห์	9
2.1.4 การเพาะเดี้ยงเชื้อรา	10
2.1.5 การศึกษาผลของการใช้น้ำมันพืชชนิดต่างๆ เป็นแหล่งคาร์บอนเสริมต่อการผลิต lovastatin	10
2.1.6 การศึกษาผลของการใช้น้ำมันพืชบริมาณต่างๆ เป็นแหล่งคาร์บอนเสริมต่อการผลิต lovastatin	10
2.1.7 การศึกษาผลของการใช้น้ำมันพืชเป็นแหล่งคาร์บอนหลักต่อการผลิต lovastatin	11

หน้า

2.1.8 การศึกษาผลของการใช้น้ำมันพืชเป็นแหล่งคาร์บอนหลักและเสริมต่อการผลิต lovastatin	11
2.2 ผลการวิจัย	11
2.2.1 การวิเคราะห์กราฟมาตรฐานของ lovastatin	11
2.2.2 การศึกษาผลของการใช้น้ำมันพืชชนิดต่างๆ เป็นแหล่งคาร์บอนเสริมต่อการผลิต lovastatin	15
2.2.3 การศึกษาผลของการใช้น้ำมันพืชบริมาณต่างๆ เป็นแหล่งคาร์บอนเสริมต่อการผลิต lovastatin	19
2.2.4 การศึกษาผลของการใช้น้ำมันพืชเป็นแหล่งคาร์บอนหลักต่อการผลิต lovastatin	23
2.2.5 การศึกษาผลของการใช้น้ำมันพืชเป็นแหล่งคาร์บอนหลักและเสริมต่อการผลิต lovastatin	27
3. อภิปรายผลการวิจัย	30
3.1 การศึกษาผลของการใช้น้ำมันพืชชนิดต่างๆ เป็นแหล่งคาร์บอนเสริมต่อการผลิต lovastatin	30
3.2 การศึกษาผลของการใช้น้ำมันพืชบริมาณต่างๆ เป็นแหล่งคาร์บอนเสริมต่อการผลิต lovastatin	33
3.3 การศึกษาผลของการใช้น้ำมันพืชเป็นแหล่งคาร์บอนหลักต่อการผลิต lovastatin	35
3.4 การศึกษาผลของการใช้น้ำมันพืชเป็นแหล่งคาร์บอนหลักและเสริมต่อการผลิต lovastatin	37
4. สรุปและเสนอแนะ	38
บรรณานุกรม	39
ภาคผนวก ก ตัวชี้วัดเพื่อการประเมินผลสำเร็จของโครงการ	41

สารบัญตาราง

ตาราง	หน้า
1 รายละเอียดต่างๆ ของน้ำมันพีชที่ใช้ในการศึกษา	7
2 ความสัมพันธ์ระหว่างความเข้มข้นของสารละลายน้ำมารูสเตติน lovastatin กับพื้นที่ได้ peak	12
3 ค่าพื้นที่ได้ peak ของผลิตภัณฑ์ lovastatin ที่ได้จากโครมาโตแกรมและน้ำหนักแห้งของเชื้อรา <i>Aspergillus terreus</i> ATCC 20542 โดยใช้น้ำมันเมล็ดชา น้ำมันคาโนลา และน้ำมันมะพร้าว เป็นแหล่งคาร์บอนเสริม	16
4 การเปรียบเทียบความเข้มข้น lovastatin และน้ำหนักแห้งของเชื้อรา <i>Aspergillus terreus</i> ATCC 20542 โดยใช้น้ำมันเมล็ดชา น้ำมันคาโนลา และน้ำมันมะพร้าว เป็นแหล่งคาร์บอนเสริม	16
5 ค่าพื้นที่ได้ peak ของผลิตภัณฑ์ lovastatin ที่ได้จากโครมาโตแกรมและน้ำหนักแห้งของเชื้อรา <i>Aspergillus terreus</i> ATCC 20542 โดยใช้น้ำมันข้าวโพด น้ำมันมะกอก น้ำมันปาล์ม โอลีเยน และน้ำมันรำข้าว เป็นแหล่งคาร์บอนเสริม	17
6 การเปรียบเทียบความเข้มข้น lovastatin และน้ำหนักแห้งของเชื้อรา <i>Aspergillus terreus</i> ATCC 20542 โดยใช้น้ำมันข้าวโพด น้ำมันมะกอก น้ำมันปาล์ม โอลีเยน และน้ำมันรำข้าว เป็นแหล่งคาร์บอนเสริม	17
7 ค่าพื้นที่ได้ peak ของผลิตภัณฑ์ lovastatin ที่ได้จากโครมาโตแกรมและน้ำหนักแห้งของเชื้อรา <i>Aspergillus terreus</i> ATCC 20542 โดยใช้น้ำมันเมล็ดดอกคำฝอย น้ำมันงา น้ำมันถั่วเหลือง และน้ำมันเมล็ดดอกทานตะวัน เป็นแหล่งคาร์บอนเสริม	18
8 การเปรียบเทียบความเข้มข้น lovastatin และน้ำหนักแห้งของเชื้อรา <i>Aspergillus terreus</i> ATCC 20542 โดยใช้น้ำมันเมล็ดดอกคำฝอย น้ำมันงา น้ำมันถั่วเหลือง และน้ำมันเมล็ดดอกทานตะวัน เป็นแหล่งคาร์บอนเสริม	18
9 ค่าพื้นที่ได้ peak ของผลิตภัณฑ์ lovastatin ที่ได้จากโครมาโตแกรมและน้ำหนักแห้งของเชื้อรา <i>Aspergillus terreus</i> ATCC 20542 โดยใช้น้ำมันมะพร้าวปริมาณต่างๆ เป็นแหล่งคาร์บอนเสริม	20
10 การเปรียบเทียบความเข้มข้น lovastatin และน้ำหนักแห้งของเชื้อรา <i>Aspergillus terreus</i> ATCC 20542 โดยใช้น้ำมันมะพร้าวปริมาณต่างๆ เป็นแหล่งคาร์บอนเสริม	21

ตาราง	หน้า
11 ค่าพื้นที่ได้ peak ของผลิตภัณฑ์ lovastatin ที่ได้จากโครโนโตแกรมและน้ำหนักแห้งของเชื้อรา <i>Aspergillus terreus</i> ATCC 20542 โดยใช้น้ำมันถั่วเหลืองปริมาณต่างๆ เป็นแหล่งคาร์บอนเสริม	22
12 การเปรียบเทียบความเข้มข้น lovastatin และน้ำหนักแห้งของเชื้อรา <i>Aspergillus terreus</i> ATCC 20542 โดยใช้น้ำมันถั่วเหลืองปริมาณต่างๆ เป็นแหล่งคาร์บอนเสริม	23
13 ค่าพื้นที่ได้ peak ของผลิตภัณฑ์ lovastatin ที่ได้จากโครโนโตแกรมและน้ำหนักแห้งของเชื้อรา <i>Aspergillus terreus</i> ATCC 20542 โดยใช้น้ำมันมะพร้าวปริมาณต่างๆ เป็นแหล่งคาร์บอนหลัก	24
14 การเปรียบเทียบความเข้มข้น lovastatin และน้ำหนักแห้งของเชื้อรา <i>Aspergillus terreus</i> ATCC 20542 โดยใช้น้ำมันมะพร้าวปริมาณต่างๆ เป็นแหล่งคาร์บอนหลัก	25
15 ค่าพื้นที่ได้ peak ของผลิตภัณฑ์ lovastatin ที่ได้จากโครโนโตแกรมและน้ำหนักแห้งของเชื้อรา <i>Aspergillus terreus</i> ATCC 20542 โดยใช้น้ำมันถั่วเหลืองปริมาณต่างๆ เป็นแหล่งคาร์บอนหลัก	26
16 การเปรียบเทียบความเข้มข้น lovastatin และน้ำหนักแห้งของเชื้อรา <i>Aspergillus terreus</i> ATCC 20542 โดยใช้น้ำมันถั่วเหลืองปริมาณต่างๆ เป็นแหล่งคาร์บอนหลัก	27
17 ค่าพื้นที่ได้ peak ของผลิตภัณฑ์ lovastatin ที่ได้จากโครโนโตแกรมและน้ำหนักแห้งของเชื้อรา <i>Aspergillus terreus</i> ATCC 20542 โดยใช้น้ำมันมะพร้าวและน้ำมันถั่วเหลืองเป็นแหล่งคาร์บอนหลักและเสริม	28
18 การเปรียบเทียบความเข้มข้น lovastatin และน้ำหนักแห้งของเชื้อรา <i>Aspergillus terreus</i> ATCC 20542 โดยใช้น้ำมันมะพร้าวและน้ำมันถั่วเหลืองเป็นแหล่งคาร์บอนหลักและเสริม	29

สารบัญรูป

รูป	หน้า
1 โครงสร้างของ lovastatin	1
2 กราฟความสัมพันธ์เชิงเส้นตระหง่านระหว่างความเข้มข้นของสารละลายน้ำตาลกับ lovastatin กับพีนท์ไทด์ peak	13
3 โคมไฟแกะรอยจากเครื่อง HPLC ของการวิเคราะห์ lovastatin ที่ได้จากการเชื้อรา <i>Aspergillus terreus</i> ATCC 20542	13
4 การเปรียบเทียบความเข้มข้นของ lovastatin และน้ำหนักเชื้อรานแห้งที่ผลิตจากเชื้อรา <i>Aspergillus terreus</i> ATCC 20542 โดยใช้แหล่งการบอนเดริมจากน้ำมันเมล็ดชา น้ำมันคาโนลา และน้ำมันมะพร้าว ความเข้มข้น 1 %w/v	31
5 การเปรียบเทียบความเข้มข้นของ lovastatin และน้ำหนักเชื้อรานแห้งที่ผลิตจากเชื้อรา <i>Aspergillus terreus</i> ATCC 20542 โดยใช้แหล่งการบอนเดริมจากน้ำมันข้าวโพด น้ำมันมะกอก น้ำมันปาล์ม โอลีโอน และน้ำมันรำข้าว ความเข้มข้น 1 %w/v	32
6 การเปรียบเทียบความเข้มข้นของ lovastatin และน้ำหนักเชื้อรานแห้งที่ผลิตจากเชื้อรา <i>Aspergillus terreus</i> ATCC 20542 โดยใช้แหล่งการบอนเดริมจากน้ำมันเมล็ดดอกคำฝอย น้ำมันงา น้ำมันถั่วเหลือง และน้ำมันเมล็ดดอกทานตะวัน ความเข้มข้น 1 %w/v	32
7 การเปรียบเทียบความเข้มข้นของ lovastatin และน้ำหนักเชื้อรานแห้งที่ผลิตจากเชื้อรา <i>Aspergillus terreus</i> ATCC 20542 โดยใช้แหล่งการบอนเดริมจากน้ำมันมะพร้าว ความเข้มข้น 1-5 %w/v	34
8 การเปรียบเทียบความเข้มข้นของ lovastatin และน้ำหนักเชื้อรานแห้งที่ผลิตจากเชื้อรา <i>Aspergillus terreus</i> ATCC 20542 โดยใช้แหล่งการบอนเดริมจากน้ำมันถั่วเหลือง ความเข้มข้น 1-5 %w/v	34
9 การเปรียบเทียบความเข้มข้นของ lovastatin และน้ำหนักเชื้อรานแห้งที่ผลิตจากเชื้อรา <i>Aspergillus terreus</i> ATCC 20542 โดยใช้แหล่งการบอนเดริมจากน้ำมันมะพร้าว ความเข้มข้น 1-5 %w/v	36

รูป

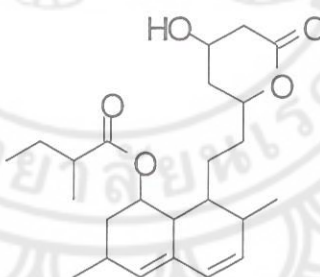
- 10 การเปรียบเทียบความเข้มข้นของ lovastatin และน้ำหนักเชื้อรานแห้งที่ผลิตจากเชื้อราน *Aspergillus terreus* ATCC 20542 โดยใช้แหล่งคาร์บอนหลักจากน้ำมันถั่วเหลือง ความเข้มข้น 1-5 %w/v 36
- 11 การเปรียบเทียบความเข้มข้นของ lovastatin (กราฟแท่งสีขาว) และน้ำหนักเชื้อรานแห้ง (กราฟแท่งสีเทา) ที่ผลิตจากเชื้อราน *Aspergillus terreus* ATCC 20542 โดยใช้แหล่งคาร์บอนหลัก (Sole) และแหล่งคาร์บอนเสริม (Sup.) จากน้ำมันมะพร้าว และน้ำมันถั่วเหลือง ความเข้มข้น 1 %w/v 37



1. บทนำ

1.1 การทบทวนเอกสารที่เกี่ยวข้อง

Lovastatin (mevinolin, monacolin K หรือ MevacorTM) มีสูตรโมเลกุลคือ $C_{24}H_{36}O_5$ และน้ำหนักโมเลกุล (M.W.) 404.55 จัดอยู่ในกลุ่มยาลดคลอเลสเตอรอล (cholesterol-lowering drug) ที่มีการใช้อย่างแพร่หลายในปัจจุบัน lovastatin เป็นยาตัวแรกของกลุ่ม statins สำหรับใช้ลดระดับคลอเลสเตอรอลที่ได้ผ่านคณะกรรมการอาหารและยา (FDA) ของประเทศสหรัฐอเมริกาในปี ค.ศ. 1987 [1] โดยยาดังกล่าวออกฤทธิ์ขึ้นยังไอน้ำ hydroxymethylglutary coenzyme A (HMG-CoA) reductase ซึ่งเป็นเอนไซม์ที่ช่วยเร่งปฏิกริยาการเปลี่ยนสารตั้งต้น HMG-CoA ไปเป็นผลิตภัณฑ์ mevalonate ของกระบวนการสังเคราะห์คลอเลสเตอรอลในร่างกาย [2,3] lovastatin สามารถผลิตขึ้นได้จากเชื้อราหลายชนิด เช่น *Aspergillus terreus*, *Monascus ruber* และ *Penicillium species* เป็นต้น [4] จากรายงานการวิจัยพบว่า *Aspergillus terreus* ลูกใช้ในการศึกษาวิจัยเป็นส่วนใหญ่เนื่องจากสามารถผลิตได้ในปริมาณสูง [1-5] กระบวนการชีวสังเคราะห์ของ lovastatin ซึ่งเป็นสาร secondary metabolite เกิดขึ้นผ่าน polyketide pathway [4] นอกจากนี้แล้ว lovastatin ยังมีประโยชน์สำหรับใช้เป็นสารตั้งต้นของการสังเคราะห์ยา simvastatin (ZocorTM) ซึ่งเป็นยาในกลุ่ม statins อีกด้วย ชนิดหนึ่งซึ่งใช้สำหรับลดระดับคลอเลสเตอรอล เช่น กัน [6]



รูป 1 โครงสร้างของ lovastatin (lactone form)

Aspergillus terreus สามารถผลิตยาดังกล่าวได้ที่อุณหภูมิประมาณ 28 องศาเซลเซียส และที่ pH 5.8-6.3 โดยมีระดับการละลายของออกซิเจนที่เหมาะสม (≥ 40 เบอร์เซ็นต์) กระบวนการหมักจนได้ผลิตภัณฑ์ใช้วลานี้อยกว่า 10 วัน [7] ได้มีคะแนนกวิจัยต่างๆ ได้ศึกษาชนิดและอัตราส่วนของสารอาหารในอาหารเลี้ยงเชื้อ ได้แก่ แหล่งคาร์บอน แหล่งในโตรเจน และเกลือแร่ชนิดต่างๆ ที่มีความสำคัญต่อการผลิตยา lovastatin [8-13] การใช้สารอาหารที่ไม่เหมาะสมจะทำให้ไม่สามารถควบคุมการเจริญเติบโตของเชื้อร้าได้ ส่งผลกระทบต่อการละลายของออกซิเจนในอาหารเลี้ยงเชลล์ ทำให้ได้ผลิตภัณฑ์ลดลง [7] โดยทั่วไปแล้ว จุลทรรศน์ของการอาหารจากแหล่งคาร์บอน แหล่ง

ในโตรเจน และเกลือแร่ต่างๆ ในอาหารเลี้ยงเซลล์ เพื่อใช้ในกระบวนการเจริญเติบโตและเมตาบอลาฟิสmin น้ำมันพีชเป็นส่วนประกอบที่สำคัญในการอาหารเลี้ยงเซลล์ในการผลิต secondary metabolite เนื่องจากน้ำมันพีชมีคุณสมบัติเป็นสารกำจัดฟอง เป็นแหล่งคาร์บอนหลักและเสริม ใช้เป็นสารตั้งต้นในการสังเคราะห์ข้าวปฏิชีวนะ และใช้สำหรับการเจริญเติบโตและรักษาสภาพของเซลล์ [14-15] มีตัวอย่างของรายงานวิจัยต่างๆ ที่ประสบผลสำเร็จในการใช้น้ำมันพีชเป็นแหล่งคาร์บอนในกระบวนการหมักโดยใช้เชื้อรากของการผลิตยาปฏิชีวนะชนิดต่างๆ เช่น การใช้น้ำมัน black cherry kernel ในการผลิต erythromycin [14] การใช้น้ำมันถั่วเหลืองและน้ำมันเมล็ดดอกทานตะวันในการผลิต tetracyclin [15] การใช้น้ำมันถั่วเหลืองในการผลิต cephalexin C [16] clavulanic acid [17] และ gentamicin [18] การใช้น้ำมันรำข้าวในการผลิต cephalosporin C [19] เป็นต้น

จากข้อมูลในอดีตของการศึกษาผลของสารอาหารชนิดต่างๆ ต่อการผลิต lovastatin ยังไม่มีนักวิจัยกลุ่มใดรายงานถึงการประยุกต์ใช้น้ำมันพีชในกระบวนการผลิต lovastatin งานวิจัยนี้มีจุดประสงค์เพื่อศึกษาผลของการเติมน้ำมันพีชชนิดและปริมาณต่างๆ โดยทำหน้าที่เป็นแหล่งคาร์บอนหลักและเสริมในสารอาหารเลี้ยงเซลล์ต่อการผลิต lovastatin ของ *Aspergillus terreus* ATCC 20542 โดยใช้น้ำมันพีช เช่น น้ำมันถั่วเหลือง เป็นต้น ซึ่งมีแนวโน้มในการเพิ่มปริมาณการผลิต หรือน้ำมันพีชชนิดอื่นๆ ซึ่งสามารถหาได้やすง

1.2 ความสำคัญและที่มาของปัญหา

ปัจจุบันพบผู้ป่วยโรคระบบหัวใจและหลอดเลือดเพิ่มขึ้น ทำให้การใช้ยา抗动脉粥样硬化药 ดังกล่าวมีความจำเป็นเพิ่มขึ้น lovastatin เป็นยาในกลุ่มลดคลอเลสเตอรอล (cholesterol-lowering drug) ที่ใช้กันอย่างแพร่หลายในการรักษาโรคระบบหัวใจและหลอดเลือด lovastatin ผลิตได้จากกระบวนการหมักโดยเชื้อรา *Aspergillus terreus* ยาดังกล่าวมีราคาค่อนข้างสูง เนื่องจากผลิตแต่ละครั้ง ได้ปริมาณน้อย การพัฒนาเทคโนโลยีการหมักให้มีประสิทธิภาพจึงมีความสำคัญต่อผลผลิต เพื่อให้ได้ปริมาณสูงขึ้น ซึ่งโดยทั่วไปแล้วนิยมของสารอาหารที่ใช้สำหรับเลี้ยงเชื้อรากมีความสัมพันธ์โดยตรงกับปริมาณผลิตภัณฑ์ที่เกิดขึ้น น้ำมันพีช เช่น น้ำมันถั่วเหลือง เป็นสารอาหารชนิดหนึ่งซึ่งมีประโยชน์ต่อกระบวนการหมักของข้าวหลามตัด เช่น erythromycin tetracycline cephalexin C clavulanic acid และ gentamicin เป็นต้น การประยุกต์ใช้น้ำมันพีชต่อการพัฒนาการผลิต lovastatin จากเชื้อรา *Aspergillus terreus* ATCC 20542 จึงมีความน่าสนใจเป็นอย่างยิ่ง

1.3 วัตถุประสงค์

- 1.3.1 เพื่อพัฒนาวิธีการผลิตยา lovastatin
- 1.3.2 เพื่อศึกษาผลของน้ำมันพีชเป็นแหล่งคาร์บอนหลักและเสริมต่อการผลิต lovastatin

1.4 ขอบเขตการวิจัย

- 1.4.1 กระบวนการหมักใช้เชื้อรา *Aspergillus terreus* ATCC 20542
- 1.4.2 น้ำมันพืชที่ใช้ในการศึกษาคือ ได้แก่ น้ำมันเมล็ดชา (camellia tea oil) น้ำมันคาโนลา (canola oil) น้ำมันมะพร้าว (coconut oil) น้ำมันข้าวโพด (corn oil) น้ำมันมะกอก (olive oil) น้ำมันปาล์ม โอลีเยน (palm olein oil) น้ำมัน胚芽油 (rice bran oil) น้ำมันเมล็ดดอกคำฝอย (safflower oil) น้ำมันงา (sesame oil) น้ำมันถั่วเหลือง (soya bean oil) และน้ำมันเมล็ดดอกทานตะวัน (sunflower oil)
- 1.4.3 การตรวจวิเคราะห์เชิงคุณภาพและปริมาณ โดยเทคนิค high-performance liquid chromatography (HPLC)

1.5 วิธีการดำเนินการวิจัย

- 1.5.1 การเพาะเลี้ยงเชื้อรา
 - (1) subculture เชื้อรากมาตรฐาน *Aspergillus terreus* ATCC 20542 ในอาหารแข็ง malt extract agar
 - (2) เลี้ยงเชื้อราที่อุณหภูมิ 30 องศาเซลเซียส ในตู้ incubator เป็นเวลา 5 วัน
- 1.5.2 การศึกษาผลของการใช้น้ำมันพืชชนิดต่างๆ เป็นแหล่งคาร์บอนเสริมต่อการผลิต lovastatin
 - (1) เตรียม stock เชื้อราในรูปของแบนตอนตะกอน โดยการ subculture เชื้อราจากอาหารแข็งลงใน flask ขนาด 250 มิลลิลิตร ที่มีอาหารเหลวมาตรฐาน 100 มิลลิลิตร
 - (2) เลี้ยงเชื้อราที่อุณหภูมิห้อง โดยใช้ความเร็วอบของการเขย่า 220 รอบต่อนาที เป็นเวลา 2 วัน
 - (3) แบ่ง stock เชื้อราที่ได้ปริมาตร 1.0 มิลลิลิตร ลงใน flask ขนาด 250 มิลลิลิตร ที่มีอาหารเหลวมาตรฐาน 100 มิลลิลิตร ที่มีน้ำมันพืชชนิดต่างๆ ปริมาณ 1 %w/v เป็นส่วนประกอบ (เปรียบเทียบกับ control)
 - (4) เลี้ยงเชื้อราที่อุณหภูมิห้อง โดยใช้ความเร็วอบของการเขย่า 220 รอบต่อนาที เป็นระยะเวลา 7 วัน
 - (5) เก็บตัวอย่างเพื่อวิเคราะห์หาปริมาณของ lovastatin ที่เกิดขึ้น เปรียบเทียบกับสารมาตรฐาน
- 1.5.3 การศึกษาผลของการใช้น้ำมันพืชปริมาณต่างๆ เป็นแหล่งคาร์บอนเสริมต่อการผลิต lovastatin
 - (1) เตรียม stock เชื้อราในรูปของแบนตอนตะกอน โดยการ subculture เชื้อราจากอาหารแข็งลงใน flask ขนาด 250 มิลลิลิตร ที่มีอาหารเหลวมาตรฐาน 100 มิลลิลิตร
 - (2) เลี้ยงเชื้อราที่อุณหภูมิห้อง โดยใช้ความเร็วอบของการเขย่า 220 รอบต่อนาที เป็นเวลา 2 วัน

- (3) แบ่ง stock เชื้อราที่ได้ปริมาตร 1.0 มิลลิลิตร ลงใน flask ขนาด 250 มิลลิลิตร ที่มีอาหารเหลวมาตรฐาน 100 มิลลิลิตร ที่มีน้ำมันพืชปริมาณต่างๆ (1-5 %w/v) เป็นส่วนประกอบ (เปรียบเทียบกับ control)
- (4) เลี้ยงเชื้อราที่อุณหภูมิห้อง โดยใช้ความเร็วรอบของการเบี้ยง 220 รอบต่อนาที เป็นระยะเวลา 7 วัน
- (5) เก็บตัวอย่างเพื่อวิเคราะห์หาปริมาณของ lovastatin ที่เกิดขึ้น เปรียบเทียบกับสารมาตรฐาน

1.5.4 การศึกษาผลของการใช้น้ำมันพืชเป็นแหล่งคาร์บอนหลักต่อการผลิต lovastatin

- (1) เตรียม stock เชื้อราในรูปของเชวนะกอนโดยการ subculture เชื้อราจากอาหารแข็งลงใน flask ขนาด 250 มิลลิลิตร ที่มีอาหารเหลวมาตรฐาน 100 มิลลิลิตร
- (2) เลี้ยงเชื้อราที่อุณหภูมิห้อง โดยใช้ความเร็วรอบของการเบี้ยง 220 รอบต่อนาที เป็นเวลา 2 วัน
- (3) แบ่ง stock เชื้อราที่ได้ปริมาตร 1.0 มิลลิลิตร ลงใน flask ขนาด 250 มิลลิลิตร ที่มีอาหารเหลวมาตรฐาน 100 มิลลิลิตร ที่มีน้ำมันพืช (1-5 %w/v) เป็นส่วนประกอบ โดยไม่มีแหล่งคาร์บอนชนิดอื่นๆ (เปรียบเทียบกับ control)
- (4) เลี้ยงเชื้อราที่อุณหภูมิห้อง โดยใช้ความเร็วรอบของการเบี้ยง 220 รอบต่อนาที เป็นระยะเวลา 7 วัน
- (5) เก็บตัวอย่างเพื่อวิเคราะห์หาปริมาณของ lovastatin ที่เกิดขึ้น เปรียบเทียบกับสารมาตรฐาน

1.5.5 การสกัดแยกและการวิเคราะห์

- (1) สกัดแยก lovastatin จาก fermentation medium ด้วย ethyl acetate ใน separatory funnel
- (2) เบี้ยงเป็นเวลา 10 นาที และตั้งทิ้งไว้ให้สารแยกซึ้ง
- (3) นำส่วนที่เป็น ethyl acetate มาสะเทยแห้งบน water bath
- (4) ละลายส่วนที่เหลือด้วย solvent ที่เหมาะสม
- (5) วิเคราะห์ด้วยเครื่อง HPLC เปรียบเทียบกับสารมาตรฐาน

1.6 ทฤษฎีและแนวความคิดที่นำมาใช้ในการวิจัย

Lovastatin เป็น secondary metabolite ที่ได้จากเชื้อรา *Aspergillus terreus* ชนิดของสารอาหารที่เติบโตในอาหารเลี้ยงเชื้อรามีผลต่อปริมาณของผลิตภัณฑ์ยาที่ผลิตขึ้น การเลือกใช้ชนิดของสารอาหารที่เหมาะสมของการเลี้ยงเชื้อราจะทำให้ได้ปริมาณผลิตภัณฑ์มากขึ้น น้ำมันพืชเป็นสารอาหารชนิดหนึ่งซึ่งมีประโยชน์ต่อการเกิด secondary metabolite ในกระบวนการหมัก การนำ

ความรู้ใหม่ที่ได้ไปประยุกต์ใช้กับอุตสาหกรรมการผลิตยา lovastatin สร้างผลให้ได้มากขึ้น
และทำให้มีราคาถูกลง

1.7 ประโยชน์ที่คาดว่าจะได้รับ

- 1.7.1 เมยแพร่ผลงานวิจัยในวารสารวิชาการระดับชาติ ระดับนานาชาติ หรือการจัดสัมมนา
- 1.7.2 เมยแพร่ผลงานวิจัยในการประชุมระดับชาติหรือระดับนานาชาติ
- 1.7.3 เพิ่มประสิทธิภาพในการผลิตและนำไปสู่การผลิตเชิงพาณิชย์
- 1.7.4 เป็นองค์ความรู้ในการทำงานต่อไป



2. วิธีดำเนินการวิจัยและผลการวิจัย

2.1 วิธีดำเนินการวิจัย

2.1.1 เชื้อรามาตรฐาน

เชื้อรามาตรฐาน *Aspergillus terreus* ATCC 20542 ซึ่งจาก American Type Culture Collection (ATCC, Manassas, VA) เชื้อรามาตรฐานในรูป freeze-dried culture ทั้งหมดจะถูกกระตุ้นให้เจริญโดยเลี้ยงในอาหารเหลว nutrient broth (NB) (Merck KGaA, Darmstadt, Germany) เป็นระยะเวลา 2 วัน และอาหารแข็ง malt extract agar (MEA) (Merck KGaA) เป็นระยะเวลา 5 วัน ที่อุณหภูมิ 30 องศาเซลเซียส เชื้อราก subculture ใหม่ทุกๆ ครั้งที่เริ่มการทดลอง ใหม่ เทคนิคการเลี้ยงเซลล์และการเก็บตัวอย่างทั้งหมดทำในตู้ laminar air flow cabinet (Forma Scientific Inc., Marietta, OH)

2.1.2 สารเคมี

สารมาตรฐาน lovastatin (β -hydroxyacid form) (ความบริสุทธิ์ ≥ 98 เปอร์เซ็นต์) จาก Sigma Chemical, Co. (St. Louis, MO) อาหารเหลวเลี้ยงเชื้อราประกอบด้วย yeast extract (Fluka Chemie GmbH, Buchs, Switzerland), lactose (Ajax Finechem, NSW, Australia), KH_2PO_4 (Fisher Scientific, Leicestershire, UK) $\text{MgSO}_4 \cdot 7\text{H}_2\text{O}$ (Merck KGaA), NaCl (Merck KGaA), $\text{ZnSO}_4 \cdot \text{H}_2\text{O}$ (Merck KGaA), $\text{Fe}(\text{NO}_3)_3 \cdot 9\text{H}_2\text{O}$ (Merck KGaA) และ biotin (Merck KGaA) สารละลายน้ำ trace elements ประกอบด้วย $\text{NaB}_4\text{O}_7 \cdot 10\text{H}_2\text{O}$ (Ajax Finechem), $\text{MnCl}_2 \cdot 4\text{H}_2\text{O}$ (Ajax Finechem), $\text{Na}_2\text{MoO}_4 \cdot 2\text{H}_2\text{O}$ (Ajax Finechem) และ $\text{CuSO}_4 \cdot 5\text{H}_2\text{O}$ (Ajax Finechem) รายละเอียดของน้ำมันพืชชนิดต่างๆ ที่ใช้ในการศึกษาแสดงในตาราง 1 ตัวทำละลายอินทรีย์สำหรับการสกัดเป็น AR grade คือ ethyl acetate (Lab-scan, Bangkok, Thailand) ตัวทำละลายอินทรีย์สำหรับการวิเคราะห์ HPLC ได้แก่ acetonitrile (Lab-scan) และ methanol (BDH, Poole, England) เป็น AR grade ส่วน phosphate buffer saline (PBS) เตรียมจาก KH_2PO_4 (Fisher Scientific) 0.26 กรัม, Na_2HPO_4 (Merck KGaA) 2.17 กรัม และ NaCl (Merck KGaA) 8.71 กรัม ละลายในน้ำกลั่น 1 ลิตร ปรับค่า pH ให้เท่ากับ 4.0 ด้วย HCl (Lab-scan)

ตาราง 1 รายละเอียดต่างๆ ของน้ำมันพืชที่ใช้ในการศึกษา

น้ำมันพืช (Vegetable oil)	ชนิด	ปริมาณไขมันทรัพย์ ส่วนทั้งหมด (Total fat)	ไขมันอิ่มตัว ^{ไม่มี} (Saturated fat)	ไขมัน ^{ไม่มี} อิ่มตัวคำแห่นเจดีย์ (Monounsaturated fat)	ไขมัน ^{ไม่มี} อิ่มตัวหลายคำแห่นเจดีย์ (Polyunsaturated fat)	แหล่งมา ^{ไม่มี} (g)
Camellia Tea oil (น้ำมันเมล็ดชา)	Refined	15 mL / 14 g	14	1.5	n/a	n/a
Canola oil (น้ำมันคานาโนลา)	Pure	14 g	14	1	8.3	4.1
Coconut oil (น้ำมันมะพร้าว)	n/a	-	n/a	n/a	n/a	n/a
Corn oil (น้ำมันข้าวโพด)	Refined	14 g	14	2	4	8
Olive oil (น้ำมันมะกอก)	Extra virgin	-	n/a	n/a	n/a	Rafael Salgado SA, Madrid, Spain
Palm olein oil (น้ำมันปาล์มโอลีน)	Refined	15 mL	14	6	n/a	P. S. Pacific Co., Ltd., Petchburi, Thailand

ตาราง 1 ร่างแบบข้อมูลทาง營养สำหรับการศึกษา (ต่อ)

ปริมาณ ไขมันชนิดต่างๆ

น้ำมันพืช

(Vegetable oil)

ชนิด

ปริมาณ

ไขมันรวมหมด
(Total fat)

ไขมันอิ่มตัว
(Saturated fat)

ไขมันไม่อิ่มตัวเดียว
(Monounsaturated fat)
ไขมันไม่อิ่มตัวหลายตัวเดียว
(Polyunsaturated fat)

บริษัทผู้ผลิต

น้ำมันพืช (น้ำมันรำพื้น)	Extra-cold filtered	14 g	14	3.1	5.7	4.8	Coagro Co., Ltd, Bangkok, Thailand
Safflower oil (น้ำมันดอกทานตะวัน)	Refined	-	n/a	n/a	n/a	n/a	Ouiheng Health Consumer Co., Ltd., Bangkok, Thailand
Sesame oil (น้ำมันงา)	n/a	15 mL	13	2.5	n/a	n/a	Chaiser Co.,Ltd., Chiang Mai, Thailand
Soya bean oil (น้ำมันถั่วเหลือง)	Refined	15 mL	15	2.5	3.5	9	Morakot Industries Pcl., Samutprakarn, Thailand
Sunflower oil (น้ำมันดอกทานตะวัน)	Refined	15 mL	15	2	5	8	Thanakorn Vegetable Oil Products Co., Ltd. Samutprakarn, Thailand

n/a = Not available

2.1.3 การเตรียมตัวอย่างและการวิเคราะห์

(1) การเตรียมตัวอย่าง

แยกเชื้อราออกจากอาหารเหลวโดยกรองผ่านสำลี ตัวอาหารเหลวดังกล่าว 50 มิลลิลิตร แล้วนำมาปรับ pH ให้มีค่าเท่ากับ 3.0 โดยใช้กรด HCl เชื้มขึ้น สกัดแยกสารผลิตภัณฑ์ lovastatin จากอาหารเหลวด้วย ethyl acetate ปริมาตร 50 มิลลิลิตร (อัตราส่วนการสกัด 1:1 โดยปริมาตร) ใน separatory funnel เป็นเวลา 10 นาที แล้วดึงทิ้งไว้ให้แยกชั้น นำชั้นของ ethyl acetate 25 มิลลิลิตร มาระHEYแห่งบน water bath แล้วละลายสารสกัดที่เหลือจากการระHEY (residue) ด้วย mobile phase 2.0 มิลลิลิตร เพื่อนำไปใช้ในการวิเคราะห์หาปริมาณ lovastatin โดยเครื่อง HPLC ส่วนเชื้อราที่เหลือนำมาอบแห้งแล้วซึ่งน้ำหนักหาน้ำหนักแห้ง

(2) การวิเคราะห์ HPLC

ฉีดสารละลายตัวอย่างปริมาตร 20 ไมโครลิตร ที่ผ่านการกรอง membrane แล้ว เข้าเครื่อง HPLC ซึ่งประกอบด้วย solvent delivery system (Varian 9012, Varian, Inc., Palo Alto, CA) และ variable wavelength UV-Vis detector (Varian 9050, Varian Inc.) ซึ่งต่อ กับ Rheodyne (7725) sample injector (Rohnert Park, CA) และ 100- μ L sample loop โดยใช้ ODS Hypersil® C18 column (250×4.6 mm i.d.; 5 μ m particle diameter, 250 Å average pore size) (Thermo Electron Corporation, Waltham, MA) และ mobile phase ประกอบด้วย acetonitrile, methanol และ phosphate buffer saline pH 4.0 อัตราส่วน 55:12:33 โดยปริมาตร ซึ่งได้จากการกรองผ่าน 0.45 μ m nylon filter membrane (Alltech Associates, Inc., Deerfield, IL) ก่อนการใช้ทุกครั้ง mobile phase ให้ลดอัตราเร็ว 1.0 มิลลิลิตรต่อนาที โดยใช้ UV-Vis detector เป็นเครื่องตรวจวัดที่ความยาวคลื่น 238 โนนาเมตร เปรียบเทียบ retention time ของ peak ของผลิตภัณฑ์ที่เกิดขึ้นจากเชื้อรา กับของสารมาตรฐาน lovastatin รวมทั้งคำนวณปริมาณ lovastatin ที่เกิดขึ้นจากเชื้อราโดยการเปรียบเทียบพื้นที่ใต้ peak ของผลิตภัณฑ์ที่เกิดขึ้นใน chromatogram กับ Grafefit มาตรฐานของสารมาตรฐาน lovastatin

(3) การวิเคราะห์กราฟมาตรฐาน

ละลายสารมาตรฐาน lovastatin 25 มิลลิกรัม ด้วย methanol ปริมาตร 5 มิลลิลิตร เพื่อทำเป็น standard stock solution (5 มิลลิกรัมต่อมิลลิลิตร) เตรียมสารละลาย lovastatin 6 ความเข้มข้น ดังนี้ 0.005, 0.01, 0.05, 0.1, 0.5 และ 1.0 มิลลิกรัมต่อมิลลิลิตร ตามลำดับ จาก standard stock solution ด้วยการเจือจางด้วย mobile phase แล้วนำไปวิเคราะห์ด้วยเครื่อง HPLC นำพื้นที่ใต้ peak และความเข้มข้นของสารมาตรฐาน lovastatin มาหาความสัมพันธ์เชิงเส้นตรง (linear regression)

2.1.4 การเพาะเลี้ยงเชื้อรา

sterilization อาหารเหลวมาตรฐาน ซึ่งประกอบด้วย (ต่อสิบิตร) lactose 10 กรัม, yeast extract 8 กรัม, KH_2PO_4 1.51 กรัม, $\text{MgSO}_4 \cdot 7\text{H}_2\text{O}$ 0.52 กรัม, NaCl 0.40 กรัม, $\text{ZnSO}_4 \cdot \text{H}_2\text{O}$ 2 มิลลิกรัม, $\text{Fe}(\text{NO}_3)_3 \cdot 9\text{H}_2\text{O}$ 2 มิลลิกรัม และ biotin 0.04 มิลลิกรัม และสารละลายน้ำ trace elements ปริมาตร 1 มิลลิลิตร ซึ่งประกอบด้วย (ต่อสิบิตร) $\text{NaB}_4\text{O}_7 \cdot 10\text{H}_2\text{O}$ 100 มิลลิกรัม, $\text{MnCl}_2 \cdot 4\text{H}_2\text{O}$ 50 มิลลิกรัม, $\text{Na}_2\text{MoO}_4 \cdot 2\text{H}_2\text{O}$ 50 มิลลิกรัม, และ $\text{CuSO}_4 \cdot 5\text{H}_2\text{O}$ 250 มิลลิกรัม ปรับค่า pH ของอาหารเหลวเป็น 6.5 ด้วยสารละลายน้ำ NaOH 0.1 นอร์มอล

subculture เชื้อรา *Aspergillus terreus* ในอาหารแข็ง malt extract agar ก่อนเริ่มการศึกษา 5 วัน เชื้อรามาตรฐานถูก subculture ในอาหารเหลวปริมาตร 100 มิลลิลิตร เลี้ยงเชื้อราที่อุณหภูมิ 30 องศาเซลเซียส และที่ความเร็วรอบ 220 รอบต่อนาที เป็นเวลา 2 วัน แล้วจึงแบ่งเชื้อราเข่วนตะกอนไปใช้ในการศึกษาต่อไป

2.1.5 การศึกษาผลของการใช้น้ำมันพืชชนิดต่างๆ เป็นแหล่งคาร์บอนเสริมต่อการผลิต lovastatin

แบ่งเชื้อรา *Aspergillus terreus* ในรูปเข่วนตะกอนในข้อ 2.1.4 ปริมาตร 1.0 มิลลิลิตร มาเติมลงในอาหารเหลวมาตรฐานปริมาตร 100 มิลลิลิตร (ซึ่งมี lactose เป็นแหล่งคาร์บอนหลัก) ใน flask ขนาด 250 มิลลิลิตร ที่มีน้ำมันพืชชนิดต่างๆ เป็นส่วนประกอบได้แก่ น้ำมันเมล็ดชา น้ำมันคาโนลา น้ำมันมะพร้าว น้ำมันข้าวโพด น้ำมันมะกอก น้ำมันปาล์มโอลิเย่ น้ำมันรำข้าว น้ำมันเมล็ดดอกคำฝอย น้ำมันงา น้ำมันถั่วเหลือง หรือน้ำมันเมล็ดดอกทานตะวัน ความเข้มข้น 1 %w/v (เปรียบเทียบกับการทดลองควบคุมที่ไม่เติมน้ำมันพืช) เลี้ยงเชื้อราดังกล่าวที่อุณหภูมิห้อง โดยใช้ความเร็วรอบของการหมุน 220 รอบต่อนาที เป็นระยะเวลา 7 วัน (แต่ละการทดลองทำการศึกษาซ้ำ 5 ครั้ง) เก็บตัวอย่างและสกัดเพื่อวิเคราะห์หาปริมาณ lovastatin ที่เกิดขึ้น เทียบกับกราฟของสารมาตรฐาน lovastatin กรองเก็บเชื้อราทั้งในรูปแบบสปอร์และเส้นใยที่ได้จากการทดลองทั้งหมดนำมาอบแห้ง และซั่งน้ำหนักเพื่อหาปริมาณ

2.1.6 การศึกษาผลของการใช้น้ำมันพืชปริมาณต่างๆ เป็นแหล่งคาร์บอนเสริมต่อการผลิต lovastatin

แบ่งเชื้อรา *Aspergillus terreus* ในรูปเข่วนตะกอนในข้อ 2.1.4 ปริมาตร 1.0 มิลลิลิตร มาเติมลงในอาหารเหลวมาตรฐานปริมาตร 100 มิลลิลิตร (โดยมี lactose เป็นแหล่งคาร์บอนหลัก) ใน flask ขนาด 250 มิลลิลิตร ที่มีน้ำมันพืชชนิดต่างๆ เป็นส่วนประกอบได้แก่ น้ำมันมะพร้าว หรือน้ำมันถั่วเหลือง ความเข้มข้น 1 2 3 4 และ 5 %w/v (เปรียบเทียบกับการทดลองควบคุมที่ไม่เติมน้ำมันพืช) เลี้ยงเชื้อราดังกล่าวที่อุณหภูมิห้อง โดยใช้ความเร็วรอบของการหมุน 220 รอบต่อนาที เป็นระยะเวลา 7 วัน (แต่ละการทดลองทำการศึกษาซ้ำ 5 ครั้ง) เก็บตัวอย่างและสกัดเพื่อวิเคราะห์หา

ปริมาณ lovastatin ที่เกิดขึ้น เทียบกับกราฟของสารมาตรฐาน lovastatin กรองเก็บเชื้อรากในรูปแบบสปอร์และเส้นไขที่ได้จากการทดลองทั้งหมด นำมาอบแห้ง และซึ่งน้ำหนักเพื่อหาปริมาณ

2.1.7 การศึกษาผลของการใช้น้ำมันพืชเป็นแหล่งคาร์บอนหลักต่อการผลิต lovastatin

แบ่งเชื้อรา *Aspergillus terreus* ในรูปแบบตะกอนในข้อ 2.1.4 ปริมาตร 1.0 มิลลิลิตร มาเติมลงในอาหารเหลวมาตรฐานปริมาตร 100 มิลลิลิตร (ซึ่งไม่มี lactose เป็นแหล่งคาร์บอนหลัก) ใน flask ขนาด 250 มิลลิลิตร ที่มีน้ำมันพืชชนิดต่างๆ เป็นส่วนประกอบได้แก่ น้ำมันมะพร้าว หรือน้ำมันถั่วเหลือง ความเข้มข้น 1, 2, 3, 4 และ 5 %w/v (เปรียบเทียบกับการทดลองควบคุมที่ไม่เติมน้ำมันพืช) เลี้ยงเชื้อรากดังกล่าวที่อุณหภูมิห้อง โดยใช้ความเร็วอบของการเบา 220 รอบต่อนาที เป็นระยะเวลา 7 วัน (แต่ละการทดลองทำการศึกษาซ้ำ 5 ครั้ง) เก็บตัวอย่างและสกัดเพื่อวิเคราะห์หาปริมาณ lovastatin ที่เกิดขึ้น เทียบกับกราฟของสารมาตรฐาน lovastatin กรองเก็บเชื้อรากในรูปแบบสปอร์และเส้นไขที่ได้จากการทดลองทั้งหมด นำมาอบแห้ง และซึ่งน้ำหนักเพื่อหาปริมาณ

2.1.8 การศึกษาผลของการใช้น้ำมันพืชเป็นแหล่งคาร์บอนหลักและเสริมต่อการผลิต lovastatin

แบ่งเชื้อรา *Aspergillus terreus* ในรูปแบบตะกอนในข้อ 2.1.4 ปริมาตร 1.0 มิลลิลิตร มาเติมลงในอาหารเหลวมาตรฐานปริมาตร 100 มิลลิลิตร ใน flask ขนาด 250 มิลลิลิตร ซึ่งมีน้ำมันพืชชนิดต่างๆ เป็นส่วนประกอบ ได้แก่ น้ำมันมะพร้าว หรือ น้ำมันถั่วเหลือง ความเข้มข้น 1 %w/v โดยที่อาหารเหลวมาตรฐานดังกล่าวมีและไม่มี lactose เป็นแหล่งคาร์บอนหลัก (เปรียบเทียบกับการทดลองควบคุมที่ไม่เติมน้ำมันพืช) เลี้ยงเชื้อรากดังกล่าวที่อุณหภูมิห้อง โดยใช้ความเร็วอบของการเบา 220 รอบต่อนาที เป็นระยะเวลา 7 วัน (แต่ละการทดลองทำการศึกษาซ้ำ 5 ครั้ง) เก็บตัวอย่างและสกัดเพื่อวิเคราะห์หาปริมาณ lovastatin ที่เกิดขึ้น เทียบกับกราฟของสารมาตรฐาน lovastatin กรองเก็บเชื้อรากในรูปแบบสปอร์และเส้นไขที่ได้จากการทดลองทั้งหมด นำมาอบแห้ง และซึ่งน้ำหนักเพื่อหาปริมาณ

2.2 ผลการวิจัย

2.2.1 การวิเคราะห์กราฟมาตรฐานของ lovastatin

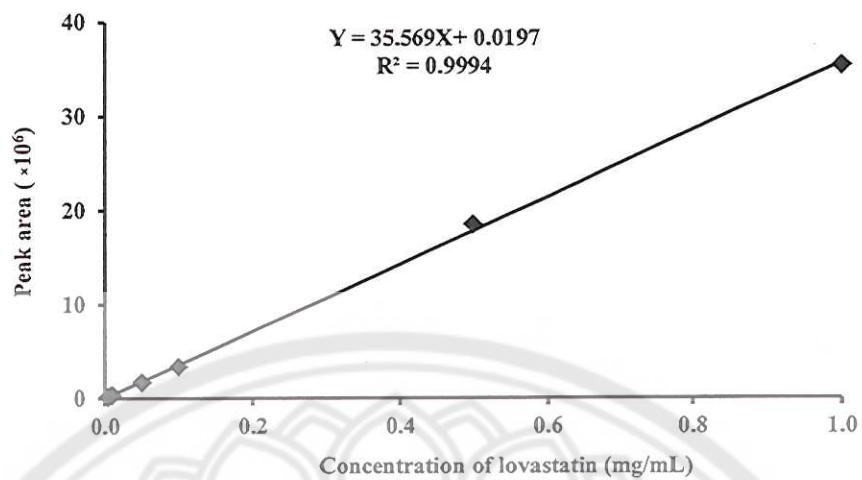
การวิเคราะห์ lovastatin ด้วยเทคนิค HPLC พบร่วม peak ของสารสำคัญปราฏภูในโคลามาโต-แกรมที่เวลา 15-16 นาที โดยใช้เวลาในการวิเคราะห์แต่ละครั้งประมาณ 20 นาที ผลการหาความสัมพันธ์เชิงเส้นตรงระหว่างความเข้มข้นของสารละลายน้ำมาตรฐาน lovastatin กับพื้นที่ใต้ peak ดังตาราง 2 สมการเส้นตรงแสดงความสัมพันธ์ระหว่างความเข้มข้นของ lovastatin กับพื้นที่ใต้ peak คือ $Y = 35.569X + 0.0197$ ($R^2 = 0.9994$) กราฟความสัมพันธ์เชิงเส้นตรงระหว่างความเข้มข้นของสารละลายน้ำมาตรฐาน lovastatin กับพื้นที่ใต้ peak ของช่วงความเข้มข้น 0.005-1.0 มิลลิกรัมต่อ

มิลลิลิตร แสดงในรูป 2 โคมาราโตแกรมของการวิเคราะห์ lovastatin ด้วยเครื่อง HPLC แสดงในรูป

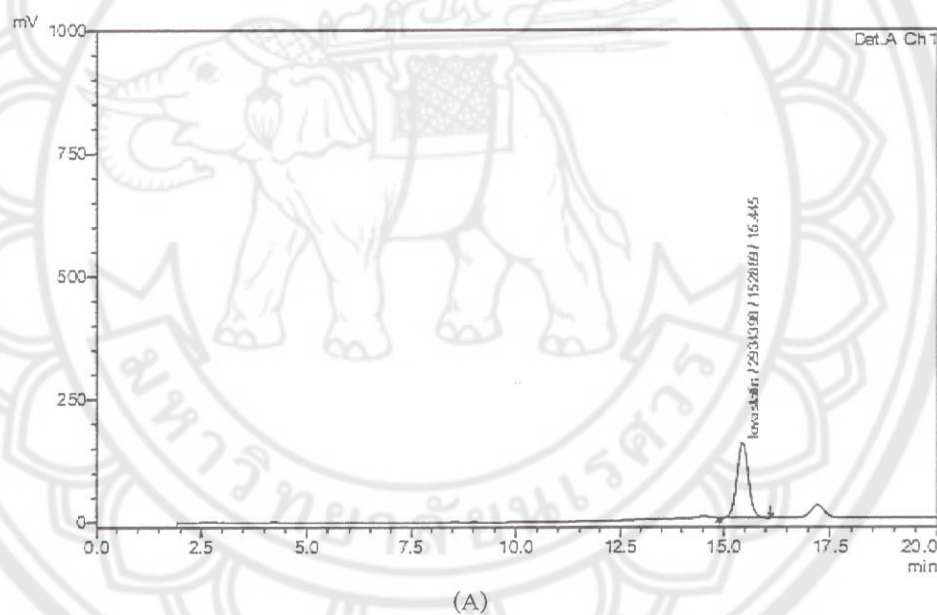
3

ตาราง 2 ความสัมพันธ์ระหว่างความเข้มข้นของสารละลายน้ำ lovastatin กับพื้นที่ใต้ peak

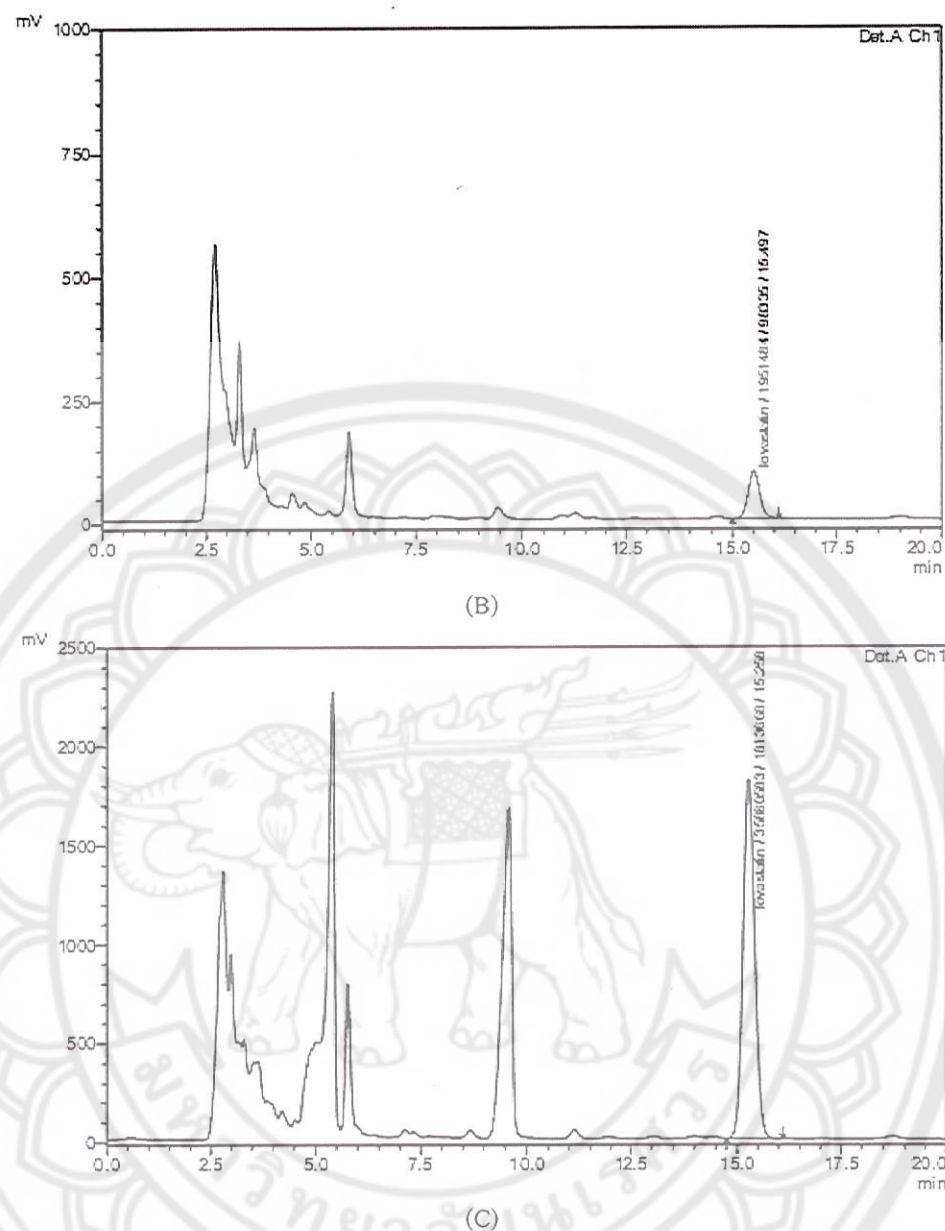
ความเข้มข้น Lovastatin (mg/mL)	ครั้งที่	พื้นที่ใต้ Peak	พื้นที่ใต้ Peak เฉลี่ย
0.005	1	176,638	
	2	164,183	
	3	179,391	177,221
	4	188,897	
	5	176,996	
0.01	1	352,974	
	2	362,764	
	3	349,757	354,681
	4	357,986	
	5	349,922	
0.05	1	1,658,505	
	2	1,697,336	
	3	1,731,217	1,690,589
	4	1,684,318	
	5	1,681,570	
0.1	1	3,397,046	
	2	3,300,228	
	3	3,517,785	3,365,222
	4	3,229,880	
	5	3,381,170	
0.5	1	16,898,958	
	2	19,085,456	
	3	18,695,959	18,470,262
	4	18,725,087	
	5	18,945,851	
1.0	1	36,933,631	
	2	32,911,953	
	3	36,250,163	35,282,218
	4	35,395,105	
	5	34,920,239	



รูป 2 กราฟความสัมพันธ์เชิงเส้นครองระหว่างความเข้มข้นของสารคลอลาينมาตรฐาน lovastatin กับพื้นที่ใต้ peak



รูป 3 โปรแกรมจากเครื่อง HPLC ของการวินิเคราะห์ lovastatin ที่ได้จากเชื้อรากลุ่ม Aspergillus terreus ATCC 20542 (A) lovastatin standard solution (B) control ที่ไม่เติมน้ำมันพืช (C) เติมน้ำมันพืช โดยที่ retention time ของ lovastatin ประมาณ 15-16 นาที



รูป 3 โปรแกรมติดограмจากเครื่อง HPLC ของการวิเคราะห์ lovastatin ที่ได้จากเชื้อราก *Aspergillus terreus* ATCC 20542 (A) lovastatin standard solution (B) control ที่ไม่เติมน้ำมันพืช (C) เติมน้ำมันพืช โดยที่ retention time ของ lovastatin ประมาณ 15-16 นาที (ต่อ)

2.2.2 การศึกษาผลของการใช้น้ำมันพีชชนิดต่างๆ เป็นแหล่งคาร์บอนเสริมต่อการผลิต lovastatin

การทดสอบเชื้อร้า *Aspergillus terreus* ATCC 20542 ที่สามารถผลิต lovastatin โดยใช้ชนิดแหล่งคาร์บอนหลักเป็น lactose และแหล่งคาร์บอนเสริมเป็นน้ำมันพีชชนิดต่างๆ ปริมาณความเข้มข้น 1 %w/v ได้ผลโตรามาโตรแกรมและผลการเบร์ยนเทียบความเข้มข้นของ lovastatin ที่เกิดขึ้นจากเชื้อร้า *Aspergillus terreus* ATCC 20542 กับการใช้น้ำมันเมล็ดชา น้ำมันคาโนลา และน้ำมันมะพร้าว แสดงดังตาราง 3 และ 4 ตามลำดับ น้ำมันข้าวโพด น้ำมันมะกอก น้ำมันปาล์ม โอลีอิน และน้ำมันรำข้าวแสดงดังตาราง 5 และ 6 ตามลำดับ และ น้ำมันเมล็ดดอกคำฝอย น้ำมันงา น้ำมันถั่วเหลือง และน้ำมันเมล็ดดอกทานตะวัน แสดงดังตาราง 7 และ 8 ตามลำดับ



ตาราง 3 ค่าพื้นที่ใต้ peak ของผลิตภัณฑ์ lovastatin ที่ได้จาก โครโน่โตแกรมและน้ำหนักแห้งของเชื้อรา *Aspergillus terreus* ATCC 20542 โดยใช้น้ำมันเมล็ดชา น้ำมันคานาโนลา และน้ำมันมะพร้าว เป็นแหล่งการ์บอนสเตริม

น้ำมันพืช (1% w/v)	ครั้งที่	พื้นที่ใต้ Peak	น้ำหนักเชื้อราแห้ง (g/flask)
Control (ไม่เติมน้ำมันพืช)	1	1,951,484	1.46
	2	3,681,375	1.44
	3	2,862,578	1.36
	4	12,630,376	1.35
	5	2,490,651	1.49
Camellia tea oil	1	14,633,987	2.25
	2	11,735,761	2.22
	3	12,510,745	2.24
	4	1,052,698	2.21
	5	8,951,392	2.28
Canola oil	1	10,480,378	2.13
	2	8,827,695	2.17
	3	9,992,917	2.12
	4	14,628,850	2.19
	5	9,252,810	2.16
Coconut oil	1	35,880,583	2.28
	2	33,854,520	2.31
	3	44,150,231	2.18
	4	37,317,608	2.30
	5	42,703,582	2.26

ตาราง 4 การเปรียบเทียบความเข้มข้น lovastatin และน้ำหนักแห้งของเชื้อรา *Aspergillus terreus* ATCC 20542 โดยใช้น้ำมันเมล็ดชา น้ำมันคานาโนลา และน้ำมันมะพร้าว เป็นแหล่งการ์บอนสเตริม

น้ำมันพืช (1% w/v)	ความเข้มข้น Lovastatin (mg/L)	น้ำหนักเชื้อราแห้ง (g/L)
Control (ไม่เติมน้ำมันพืช)	10.58±10.04	14.20±0.62
Camellia tea oil	21.95±11.89	22.40±0.27
Canola oil	23.88± 5.22	21.54±0.29
Coconut oil	87.18±10.00	22.66±0.52

ตาราง 5 ค่าพื้นที่ได้ peak ของผลิตภัณฑ์ lovastatin ที่ได้จากโครมาโตแกรมและน้ำหนักแห้งของเชื้อรากลุ่ม *Aspergillus terreus* ATCC 20542 โดยใช้น้ำมันข้าวโพด น้ำมันมะกอก น้ำมันปาล์ม โอลีвин และน้ำมันรำข้าว เป็นแหล่งคาร์บอนเสริม

น้ำมันพืช (1% w/v)	ครั้งที่	พื้นที่ได้ Peak	น้ำหนักเชื้อราน้ำหนักแห้ง (g/flask)
Control (ไม่เติมน้ำมันพืช)	1	4,155,158	1.45
	2	5,231,236	1.37
	3	2,761,263	1.29
	4	3,675,100	1.37
	5	3,085,063	1.41
Corn oil	1	17,950,024	2.13
	2	2,722,416	2.21
	3	10,733,885	2.11
	4	13,317,864	2.11
	5	17,475,859	2.15
Olive oil	1	14,703,275	2.49
	2	24,411,764	2.33
	3	14,572,421	2.36
	4	18,297,739	2.38
	5	16,240,857	2.32
Palm olein oil	1	19,781,284	2.35
	2	24,131,473	2.39
	3	20,132,795	2.34
	4	19,713,654	2.34
	5	13,395,826	2.36
Rice bean oil	1	20,619,804	2.33
	2	17,472,302	2.18
	3	20,320,616	2.29
	4	8,246,769	2.20
	5	20,507,368	2.30

ตาราง 6 การเปรียบเทียบความเข้มข้น lovastatin และน้ำหนักแห้งของเชื้อรากลุ่ม *Aspergillus terreus* ATCC 20542 โดยใช้น้ำมันข้าวโพด น้ำมันมะกอก น้ำมันปาล์ม โอลีvin และน้ำมันรำข้าว เป็นแหล่งคาร์บอนเสริม

น้ำมันพืช (1% w/v)	ความเข้มข้น Lovastatin (mg/L)	น้ำหนักเชื้อราน้ำหนักแห้ง (g/L)
Control (ไม่เติมน้ำมันพืช)	8.46± 2.19	13.78±0.59
Corn oil	27.94±13.95	21.42±0.41
Olive oil	39.64± 9.16	23.76±0.68
Palm olein oil	43.66± 8.65	23.56±0.21
Rice bean oil	39.17±11.92	22.60±0.66

ตาราง 7 ค่าพื้นที่ได้ peak ของผลิตภัณฑ์ lovastatin ที่ได้จากโครมาโตแกรมและน้ำหนักแห้งของเชื้อรา *Aspergillus terreus* ATCC 20542 โดยใช้น้ำมันเม็ดดัดออกคำฝอย น้ำมันงา น้ำมันถั่วเหลือง และน้ำมันเม็ดดัดออกทานตะวัน เป็นแหล่งคาร์บอนเสริม

น้ำมันพืช (1% w/v)	ครั้งที่	พื้นที่ได้ Peak	น้ำหนักเชื้อราแห้ง (g/flask)
Control (ไม่เติมน้ำมันพืช)	1	3,988,913	1.22
	2	3,831,545	1.18
	3	3,764,884	1.28
	4	3,854,306	1.30
	5	4,983,174	1.23
Safflower oil	1	29,089,541	2.13
	2	23,231,270	2.20
	3	20,458,823	2.12
	4	14,662,842	2.17
	5	24,086,056	2.23
Sesame oil	1	3,249,296	2.06
	2	7,804,951	2.12
	3	9,085,315	2.14
	4	7,980,240	2.07
	5	9,158,022	2.10
Soya bean oil	1	34,068,134	2.09
	2	29,375,636	2.08
	3	15,199,941	2.06
	4	28,541,882	2.17
	5	12,672,345	2.13
Sunflower oil	1	24,411,794	2.24
	2	10,953,545	2.21
	3	13,627,257	2.14
	4	30,412,911	2.15
	5	29,973,370	2.15

ตาราง 8 การเปรียบเทียบความเข้มข้น lovastatin และน้ำหนักแห้งของเชื้อรา *Aspergillus terreus* ATCC 20542 โดยใช้น้ำมันเม็ดดัดออกคำฝอย น้ำมันงา น้ำมันถั่วเหลือง และน้ำมันเม็ดดัดออกทานตะวัน เป็นแหล่งคาร์บอนเสริม

น้ำมันพืช (1% w/v)	ความเข้มข้น Lovastatin (mg/L)	น้ำหนักเชื้อราแห้ง (g/L)
Control (ไม่เติมน้ำมันพืช)	9.14± 1.14	12.42±0.48
Safflower oil	50.12±11.89	21.70±0.46
Sesame oil	16.72± 5.47	20.98±0.33
Soya bean oil	53.87±21.24	21.06±0.44
Sunflower oil	49.16±20.50	21.78±0.44

2.2.3 การศึกษาผลของการใช้น้ำมันพีชปริมาณต่างๆ เป็นแหล่งคาร์บอนเสริมต่อการผลิต lovastatin การทดสอบเชื้อรา *Aspergillus terreus* ATCC 20542 ที่สามารถผลิต lovastatin โดยใช้ชนิดแหล่งคาร์บอนหลักเป็น lactose และแหล่งคาร์บอนเสริมเป็นน้ำมันมะพร้าวและน้ำมันถั่วเหลือง ปริมาณต่างๆ ดังนี้ 1 2 3 4 และ 5 %w/v ได้ผลโคลร์มาโตรแกรมและผลการเบรย์บเทียบความเข้มข้นของ lovastatin ที่เกิดขึ้นจากเชื้อรา *Aspergillus terreus* ATCC 20542 กับการใช้น้ำมันมะพร้าวปริมาณต่างๆ แสดงดังตาราง 9 และ 10 ตามลำดับ และน้ำมันถั่วเหลืองปริมาณต่างๆ แสดงดังตาราง 11 และ 12 ตามลำดับ



ตาราง 9 ค่าพื้นที่ใต้ peak ของผลิตภัณฑ์ lovastatin ที่ได้จากโครมาโทแกรมและน้ำหนักแห้งของเชื้อรากลุ่ม *Aspergillus terreus* ATCC 20542 โดยใช้น้ำมันมะพร้าวปริมาณต่างๆ เป็นแหล่งคาร์บอนเสริม

น้ำมันพืช	ครั้งที่	พื้นที่ใต้ Peak	น้ำหนักเชื้อรากแห้ง (g/flask)
Control (ไม่เดินน้ำมันพืช)	1	8,686,062	1.44
	2	5,521,663	1.48
	3	7,152,313	1.14
	4	10,976,000	1.38
	5	2,991,699	1.45
1 %w/v Coconut oil	1	42,892,243	2.28
	2	56,236,358	2.17
	3	56,058,554	2.23
	4	54,829,396	2.27
	5	52,738,806	2.29
2 %w/v Coconut oil	1	36,879,521	3.09
	2	31,707,893	3.19
	3	54,812,594	3.19
	4	43,554,936	3.13
	5	45,968,976	3.18
3 %w/v Coconut oil	1	21,136,522	4.17
	2	22,484,451	4.06
	3	7,637,586	4.04
	4	11,738,983	4.20
	5	1,162,167	1.54
4 %w/v Coconut oil	1	16,725,562	4.90
	2	3,678,759	4.88
	3	4,860,787	4.84
	4	5,063,377	4.52
	5	1,287,666	1.92
5 %w/v Coconut oil	1	2,541,962	5.11
	2	4,057,010	5.17
	3	3,832,052	5.81
	4	4,041,795	5.64
	5	5,282,838	5.02

ตาราง 10 การเปรียบเทียบความเข้มข้น lovastatin และน้ำหนักแห้งของเชื้อราก Aspergillus terreus ATCC 20542 โดยใช้น้ำมันมะพร้าวปริมาณต่างๆ เป็นแหล่งคาร์บอนเสริม

น้ำมันพืช	ความเข้มข้น Lovastatin (mg/L)	น้ำหนักเชื้อรากแห้ง (g/L)
Control (ไม่เติมน้ำมันพืช)	15.85± 6.83	13.78± 1.38
1 %w/v Coconut oil	118.15±12.54	22.48± 0.49
2 %w/v Coconut oil	95.74±19.89	31.56± 0.44
3 %w/v Coconut oil	28.82±20.32	36.02±11.55
4 %w/v Coconut oil	14.18± 13.51	42.12±12.91
5 %w/v Coconut oil	8.84± 2.19	53.50± 3.52



ตาราง 11 ค่าพีนที่ได้ peak ของผลิตภัณฑ์ lovastatin ที่ได้จากโครมาโดยแกรมและน้ำหนักแห้งของเชื้อราก
Aspergillus terreus ATCC 20542 โดยใช้น้ำมันถั่วเหลืองบริ麻ณต่างๆ เป็นแหล่งการบอนสีน

น้ำมันพีช	ครั้งที่	พีนที่ได้ Peak	น้ำหนักเชื้อรากแห้ง (g/flask)
Control (ไม่เติมน้ำมันพีช)	1	1,937,778	1.38
	2	8,407,754	1.33
	3	3,192,119	1.36
	4	2,263,629	1.44
	5	1,971,756	1.28
1 %w/v Soya bean oil	1	17,135,481	2.32
	2	22,043,182	2.29
	3	24,385,939	2.28
	4	21,567,094	2.30
	5	37,224,835	2.30
2 %w/v Soya bean oil	1	25,172,520	3.20
	2	28,697,616	3.18
	3	22,695,443	3.31
	4	24,620,822	3.28
	5	20,511,328	3.26
3 %w/v Soya bean oil	1	19,128,520	4.18
	2	18,956,502	4.20
	3	18,518,513	4.18
	4	26,408,884	4.13
	5	31,289,916	4.17
4 %w/v Soya bean oil	1	28,130,808	4.97
	2	7,234,298	4.22
	3	9,322,020	4.85
	4	19,798,623	4.83
	5	16,861,927	5.20
5 %w/v Soya bean oil	1	26,043,889	5.64
	2	28,693,368	5.80
	3	10,848,584	5.95
	4	25,898,659	5.77
	5	29,343,767	5.61

ตาราง 12 การเปรียบเทียบความเข้มข้น lovastatin และน้ำหนักแห้งของเชื้อร้า *Aspergillus terreus* ATCC 20542 โดยใช้น้ำมันถั่วเหลืองปริมาณต่างๆ เป็นแหล่งคาร์บอนเสริม

น้ำมันพืช	ความเข้มข้น Lovastatin (mg/L)	น้ำหนักเชื้อร้าแห้ง (g/L)
Control (ไม่เติมน้ำมันพืช)	7.95± 6.21	13.58±0.59
1 %w/v Soya bean oil	55.00±17.08	22.98±0.15
2 %w/v Soya bean oil	54.70± 6.85	32.46±0.55
3 %w/v Soya bean oil	51.37±12.90	41.72±0.26
4 %w/v Soya bean oil	36.55±18.92	48.14±3.63
5 %w/v Soya bean oil	54.31±17.10	57.54±1.36

2.2.4 การศึกษาผลของการใช้น้ำมันพืชเป็นแหล่งคาร์บอนหลักต่อการผลิต lovastatin

การทดสอบเชื้อร้า *Aspergillus terreus* ATCC 20542 ที่สามารถผลิต lovastatin โดยใช้ชนิดแหล่งคาร์บอนหลักเป็นน้ำมันมะพร้าวและน้ำมันถั่วเหลืองปริมาณต่างๆ ดังนี้ 1 2 3 4 และ 5 %w/v โดยไม่มีการเติม lactose ได้ผลโครมาโตรแกรมและผลการเปรียบเทียบความเข้มข้นของ lovastatin ที่เกิดขึ้นจากเชื้อร้า *Aspergillus terreus* ATCC 20542 กับการใช้น้ำมันมะพร้าวปริมาณต่างๆ แสดงดังตาราง 13 และ 14 ตามลำดับ และน้ำมันถั่วเหลืองปริมาณต่างๆ แสดงดังตาราง 15 และ 16 ตามลำดับ

ตาราง 13 ค่าพื้นที่ได้ peak ของผลิตภัณฑ์ lovastatin ที่ได้จากโครมาโดยแกรมและน้ำหนักแห้งของเชื้อราก *Aspergillus terreus* ATCC 20542 โดยใช้น้ำมันมะพร้าวปริมาณต่างๆ เป็นแหล่งการนับอนหลัก

น้ำมันพืช	ครั้งที่	พื้นที่ได้ Peak	น้ำหนักเชื้อรากแห้ง (g/flask)
Control 1 (ไม่เติมน้ำมันพืช)	1	2,348,325	1.49
	2	5,209,217	1.47
	3	6,462,192	1.50
	4	2,241,183	1.29
	5	1,232,021	1.35
Control 2 (ไม่เติมน้ำมันพืช และ Lactose)	1	180,594	1.04
	2	135,266	1.04
	3	207,349	1.08
	4	176,498	1.06
	5	247,780	1.04
1 %w/v Coconut oil	1	416,472	1.98
	2	452,596	2.03
	3	219,982	1.93
	4	352,963	1.86
	5	873,122	1.86
2 %w/v Coconut oil	1	138,344	2.87
	2	175,789	2.88
	3	162,399	2.68
	4	324,353	2.83
	5	461,425	2.90
3 %w/v Coconut oil	1	267,087	3.77
	2	286,255	3.68
	3	495,215	3.70
	4	388,787	3.95
	5	91,431	3.83
4 %w/v Coconut oil	1	89,284	4.67
	2	202,219	4.65
	3	95,458	4.68
	4	60,405	4.78
	5	72,556	4.81
5 %w/v Coconut oil	1	124,821	5.21
	2	216,866	5.38
	3	77,522	5.70
	4	185,797	5.09
	5	61,102	4.06

Q.P
KL
CS
WCS2S
NBS

25

15896538

ตาราง 14 การเปรียบเทียบความเข้มข้น lovastatin และน้ำหนักแห้งของเชื้อราก Aspergillus terreus ATCC 20542 โดยใช้น้ำมันมะพร้าวบริมาณต่างๆ เป็นแหล่งการบอนหลัก



สำนักหอสมุด

น้ำมันพีช	ความเข้มข้น Lovastatin (mg/L)	น้ำหนักเชื้อรากแห้ง (g/L)	- 4 พ.ศ. 2555
Control 1 (ไม่เติมน้ำมันพีช)	7.82±5.00	14.20±0.94	
Control 2 (ไม่เติมน้ำมันพีชและ Lactose)	<0.04	10.52±0.18	
1 %w/v Coconut oil	1.00±0.55	19.32±0.75	
2 %w/v Coconut oil	0.52±0.31	28.32±0.89	
3 %w/v Coconut oil	0.64±0.34	37.86±1.09	
4 %w/v Coconut oil	<0.04	47.18±0.72	
5 %w/v Coconut oil	<0.04	50.88±6.19	

ตาราง 15 ค่าพีนที่ได้ peak ของผลิตภัณฑ์ lovastatin ที่ได้จากโครโนไทแกรมและน้ำหนักแห้งของเชื้อรา *Aspergillus terreus* ATCC 20542 โดยใช้น้ำมันถั่วเหลืองบริ麻ณต่างๆ เป็นแหล่งคาร์บอนหลัก

น้ำมันพืช	ครั้งที่	พีนที่ได้ Peak	น้ำหนักเชื้อราแห้ง (g/flask)
Control 1 (ไม่เติมน้ำมันพืช)	1	1,282,921	1.32
	2	1,100,894	1.35
	3	904,861	1.34
	4	1,016,243	1.34
	5	1,120,031	1.38
Control 2 (ไม่เติมน้ำมันพืช และ Lactose)	1	46,975	1.01
	2	6,504	0.94
	3	2,777	0.94
	4	2,423	0.98
	5	1,846	0.89
1 %w/v Soya bean oil	1	827,809	1.72
	2	332,425	1.78
	3	502,327	1.82
	4	1,465,083	1.81
	5	1,212,990	1.87
2 %w/v Soya bean oil	1	2,004,282	2.71
	2	976,116	2.80
	3	1,032,859	2.70
	4	1,056,699	2.80
	5	687,264	2.80
3 %w/v Soya bean oil	1	1,180,528	3.59
	2	1,114,405	3.60
	3	909,308	3.70
	4	961,805	3.74
	5	1,442,594	3.74
4 %w/v Soya bean oil	1	861,163	4.53
	2	262,615	4.50
	3	716,599	5.28
	4	1,192,280	4.47
	5	1,351,124	4.50
5 %w/v Soya bean oil	1	1,049,657	5.54
	2	179,891	4.24
	3	1,161,841	5.38
	4	1,091,265	5.41
	5	518,261	5.38

ตาราง 16 การเปรียบเทียบความเข้มข้น lovastatin และน้ำหนักแห้งของเชื้อรา *Aspergillus terreus* ATCC 20542 โดยใช้น้ำมันถั่วเหลืองปริมาณต่างๆ เป็นแหล่งคาร์บอนหลัก

น้ำมันพีช (1% w/v)	ความเข้มข้น Lovastatin (mg/L)	น้ำหนักเชื้อราแห้ง (g/L)
Control 1 (ไม่เติมน้ำมันพีช)	2.40±0.31	13.46±0.22
Control 2 (ไม่เติมน้ำมันพีชและ Lactose)	<0.04	9.52±0.45
1 %w/v Soya bean oil	1.91±1.07	18.00±0.55
2 %w/v Soya bean oil	2.55±1.12	27.62±0.52
3 %w/v Soya bean oil	2.48±0.47	36.74±0.74
4 %w/v Soya bean oil	1.93±0.96	46.56±3.49
5 %w/v Soya bean oil	1.76±0.97	51.90±5.35

2.2.5 การศึกษาผลของการใช้น้ำมันพีชเป็นแหล่งคาร์บอนหลักและเสริมต่อการผลิต lovastatin

การทดสอบเชื้อรา *Aspergillus terreus* ATCC 20542 ที่สามารถผลิต lovastatin โดยใช้ชนิดแหล่งคาร์บอนหลักและแหล่งคาร์บอนเสริมเป็นน้ำมันมะพร้าวและน้ำมันถั่วเหลืองปริมาณ 1 %w/v ได้ผลโภรณา ไตรแกรมและผลการเปรียบเทียบความเข้มข้นของ lovastatin ที่เกิดขึ้นจากเชื้อรา *Aspergillus terreus* ATCC 20542 แสดงดังตาราง 17 และ 18 ตามลำดับ

ตาราง 17 ค่าพื้นที่ใต้ peak ของผลิตภัณฑ์ lovastatin ที่ได้จากโครโนโตแกรมและน้ำหนักแห้งของเชื้อราก
Aspergillus terreus ATCC 20542 โดยใช้น้ำมันมะพร้าวและน้ำมันถั่วเหลืองเป็นแหล่งคาร์บอนหลัก
 และเสริม

น้ำมันพืช	ครั้งที่	พื้นที่ใต้ Peak	น้ำหนักเชื้อรากแห้ง (g/flask)
Control 1 (ไม่เติมน้ำมันพืช)	1	1,865,848	1.39
	2	2,576,174	1.33
	3	1,355,565	1.32
	4	1,491,870	1.37
	5	1,983,713	1.24
1 %w/v Coconut oil (Supplement carbon source) + Lactose	1	16,971,411	2.22
	2	34,665,506	2.38
	3	23,973,005	2.30
	4	28,237,676	2.35
	5	36,037,935	2.27
1 %w/v Soya bean oil (Supplement carbon source) + Lactose	1	19,474,663	2.32
	2	19,059,434	2.17
	3	12,481,465	2.12
	4	4,689,930	2.03
	5	3,309,849	2.28
Control 2 (ไม่เติมน้ำมันพืช และ Lactose)	1	44,172	0.95
	2	57,142	1.00
	3	68,405	0.96
	4	95,532	0.98
	5	68,782	1.00
1 %w/v Coconut oil (Sole carbon source)	1	1,959,967	1.80
	2	553,728	1.88
	3	1,205,554	1.82
	4	3,166,244	1.77
	5	1,823,967	1.86
1 %w/v Soya bean oil (Sole carbon source)	1	26,738	1.69
	2	305,886	1.77
	3	316,036	1.76
	4	420,396	1.64
	5	181,543	1.78

ตาราง 18 การเปรียบเทียบความเข้มข้น lovastatin และน้ำหนักแห้งของเชื้อรา *Aspergillus terreus* ATCC 20542 โดยใช้น้ำมันมะพร้าวและน้ำมันถั่วเหลืองเป็นแหล่งคาร์บอนหลักและเสริม

น้ำมันพืช	ความเข้มข้น Lovastatin (mg/L)	น้ำหนักเชื้อราน้ำดี (g/L)
Supplement carbon source		
Control 1	4.13±1.08	13.30±0.58
1 %w/v Coconut oil	62.88±17.67	23.04±0.63
1 %w/v Soya bean oil	26.50±17.23	21.84±1.18
Sole carbon source		
Control 2	<0.04	9.78±0.23
1 %w/v Coconut oil	3.87±2.19	18.26±0.44
1 %w/v Soya bean oil	0.52±0.34	17.18±0.61



3. อภิปรายผลการวิจัย

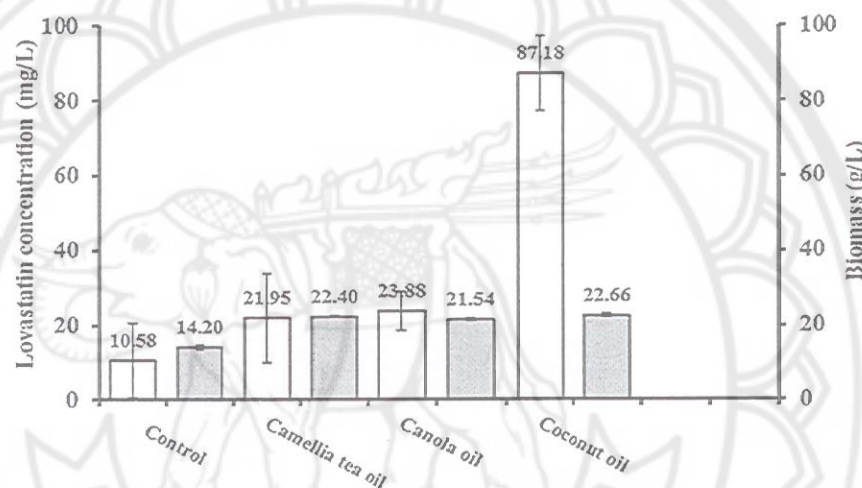
3.1 การศึกษาผลของการใช้น้ำมันพืชชนิดต่างๆ เป็นแหล่งคาร์บอนเสริมต่อการผลิต lovastatin

แหล่งคาร์บอนและแหล่งไนโตรเจนในอาหารเหลว เป็นสารอาหารที่มีความสำคัญต่อการเจริญเติบโตและการผลิตสาร secondary metabolite ของเชื้อรา ดังนั้นการเลือกชนิดและสัดส่วนของแหล่งคาร์บอนและแหล่งไนโตรเจนในอาหารเหลวมีส่วนสำคัญต่อกระบวนการผลิต lovastatin ชนิดและความเข้มข้นของแหล่งคาร์บอนเป็นตัวควบคุมการผลิตสาร secondary metabolite ของเชื้อรา [8] ในการศึกษาครั้งนี้ใช้ yeast extract เป็นแหล่งไนโตรเจน lactose เป็นแหล่งคาร์บอนหลัก (sole carbon source) และน้ำมันพืชชนิดต่างๆ เป็นแหล่งคาร์บอนเสริม (supplementary carbon source) โดยการทดลองควบคุม (control) ใช้ yeast extract เป็นแหล่งไนโตรเจน และ lactose เป็นแหล่งคาร์บอนหลัก ผลการศึกษาเบริยบเทียบการใช้น้ำมันพืชชนิดต่างๆ ที่ความเข้มข้น 1 %w/v กับปริมาณ lovastatin ที่เกิดขึ้นและปริมาณ biomass มีดังนี้ การทดลองแบ่งออกเป็น 3 ชุด โดยน้ำมันเมล็ดชา น้ำมันคาโนลา และน้ำมันมะพร้าว แสดงในรูป 4 น้ำมันขาวโพลน้ำมันมะกอก น้ำมันปาล์มโอลีอิน และน้ำมันรำข้าว แสดงในรูป 5 และน้ำมันเมล็ดดอกคำฝอย น้ำมันงา น้ำมันถั่วเหลือง และน้ำมันเมล็ดดอกทานตะวัน แสดงในรูป 6

จากการศึกษาผลของน้ำมันพืชทั้ง 11 ชนิด พบร่วมน้ำมันมะพร้าวให้ปริมาณ lovastatin สูงสุด เมื่อเปรียบเทียบกับการทดลองที่ใช้น้ำมันชนิดอื่นๆ และการทดลองควบคุม โดยมี lovastatin เกิดขึ้น 87.18 มิลลิกรัมต่อลิตร ส่วนน้ำมันถั่วเหลืองให้ปริมาณ lovastatin เท่ากับ 53.87 มิลลิกรัมต่อลิตร ในส่วนน้ำมันงาให้ปริมาณ lovastatin ต่ำสุด (16.72 มิลลิกรัมต่อลิตร) ซึ่งสอดคล้องกับการศึกษาของ Sripalakit และคณะ [20] ในส่วนของการทดลองควบคุมที่ไม่เติมน้ำมันพืชจะให้ค่าเฉลี่ยของการผลิต lovastatin เท่ากับ 9.39 มิลลิกรัมต่อลิตร (อยู่ในช่วง 8.46-10.58 มิลลิกรัมต่อลิตร) โดยรวมแล้วน้ำมันมะพร้าวและน้ำมันถั่วเหลืองให้ผลผลิตสูงกว่าการทดลองควบคุมถึง 8.2 และ 5.9 เท่า ตามลำดับ ดังนั้นน้ำมันพืช 2 ชนิดดังกล่าวจึงถูกเลือกในการศึกษาต่อไป ในส่วนปริมาณ biomass ที่เกิดขึ้น พบร่วกการทดลองที่เติมน้ำมันพืชชนิดต่างๆ ลงในอาหารเหลวจะให้ปริมาณ biomass ใกล้เคียงกันซึ่งมีค่าอยู่ในช่วง 20.40-23.76 กรัมต่อลิตร (ค่าเฉลี่ย 21.95 กรัมต่อลิตร) ซึ่งมีน้ำหนักมากกว่าการทดลองควบคุมซึ่งมีค่าอยู่ในช่วง 12.42-14.20 กรัมต่อลิตร (ค่าเฉลี่ย 13.47 กรัมต่อลิตร)

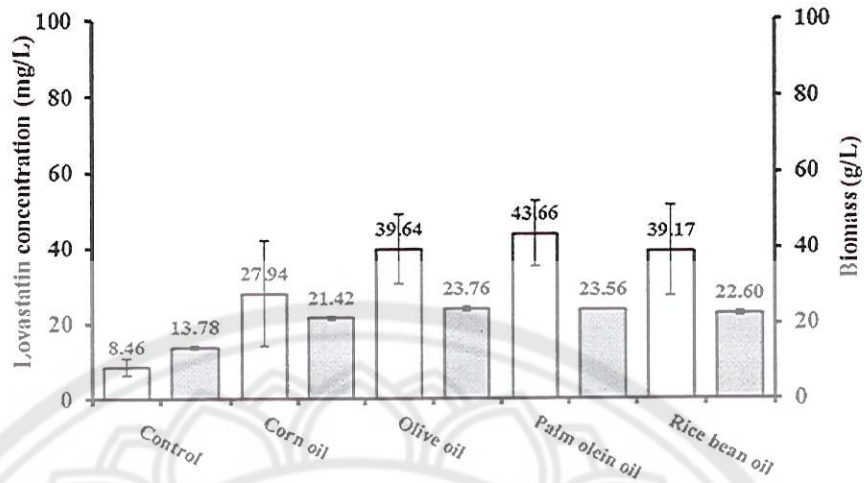
ผลการทดลองดังกล่าวจึงมีความสอดคล้องกับการศึกษาเกี่ยวกับการเติมน้ำมันพืชลงในอาหารเหลวในการเพิ่มผลผลิตของยาหลายชนิด เช่น erythromycin [14], tetracycline [15], cephamycin C [16], clavulanic acid [17], gentamicin [18] และ cephalosporin C [19] เป็นต้น เมื่อ

เปรียบเทียบชนิดของน้ำมันพืชที่ใช้ในการศึกษา พบร่วมน้ำมันถั่วเหลืองเป็นน้ำมันพืชที่เหมาะสมสำหรับเติมลงในอาหารเหลว เนื่องจากสามารถทำให้มีปริมาณ secondary metabolite หลายชนิดในระดับสูง [12-18] อย่างไรก็ตามยังไม่มีรายงานที่กล่าวว่าสารประกอบชนิดใดในน้ำมันพืชที่มีผลต่อการผลิตเพิ่มประสิทธิภาพของการผลิต lovastatin การศึกษาต่อไปควรจะศึกษาผลของชนิดของกรดไขมัน (fatty acid) และสารประกอบอื่นๆ ที่มีในน้ำมันพืช การศึกษาในปี 2010 โดย Sorrentino และคณะ [21] พบร่วมการเสริมกรดไขมัน linoleic acid ลงในอาหารเหลวช่วยให้ปริมาณ lovastatin สูงขึ้น ซึ่งกลไกเกี่ยวข้องกับยืนยันของการผลิต lovastatin



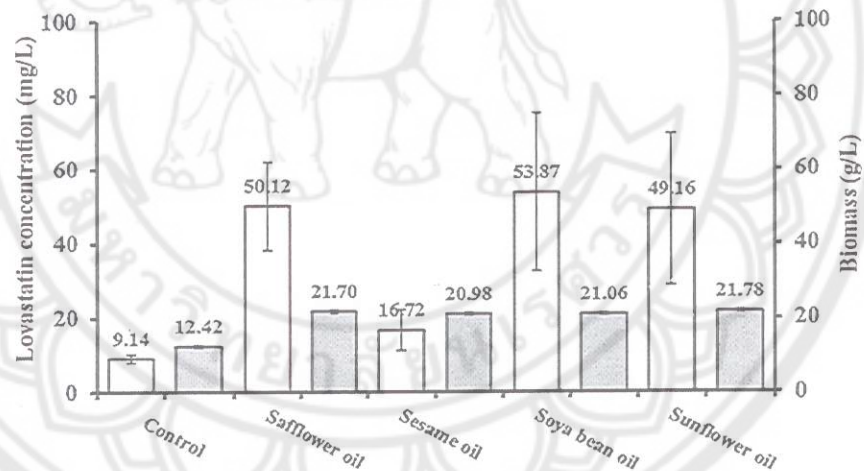
รูป 4

การเปรียบเทียบความเข้มข้นของ lovastatin (กราฟแท่งสีขาว) และน้ำหนักเชื้อรานแห้ง (กราฟแท่งสีเทา) ที่ผลิตจากเชื้อรา *Aspergillus terreus* ATCC 20542 โดยใช้แหล่งคาร์บอนเสริมจากน้ำมันเมล็ดชา น้ำมันคานาโนลา และน้ำมันมะพร้าว ความเข้มข้น 1 %w/v (Control = ไม่เติมน้ำมันพืช)



รูป 5

การเปรียบเทียบความเข้มข้นของ lovastatin (กราฟแท่งสีขาว) และน้ำหนักเชื้อราแห้ง (กราฟแท่งสีเทา) ที่ผลิตจากเชื้อรา *Aspergillus terreus* ATCC 20542 โดยใช้แหล่งคาร์บอนเสริมจากน้ำมันข้าวโพด น้ำมันมะกอก น้ำมันปาล์ม โอลีโคน และน้ำมันรำข้าว ความเข้มข้น 1 %w/v (Control = ไม่เติมน้ำมันพืช)



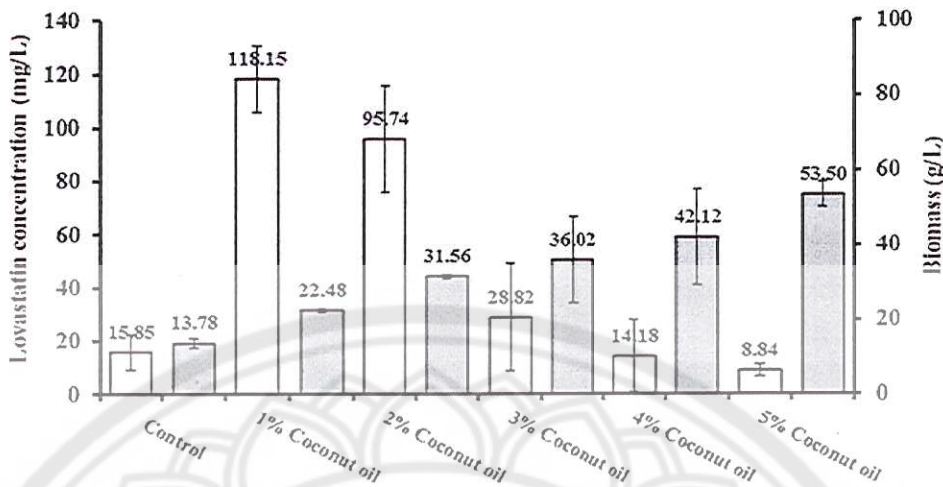
รูป 6

การเปรียบเทียบความเข้มข้นของ lovastatin (กราฟแท่งสีขาว) และน้ำหนักเชื้อราแห้ง (กราฟแท่งสีเทา) ที่ผลิตจากเชื้อรา *Aspergillus terreus* ATCC 20542 โดยใช้แหล่งคาร์บอนเสริมจากน้ำมันเมล็ดหอกคำฝอย น้ำมันงา น้ำมันถั่วเหลือง และน้ำมันแมล็ดดอกทานตะวัน ความเข้มข้น 1 %w/v (Control = ไม่เติมน้ำมันพืช)

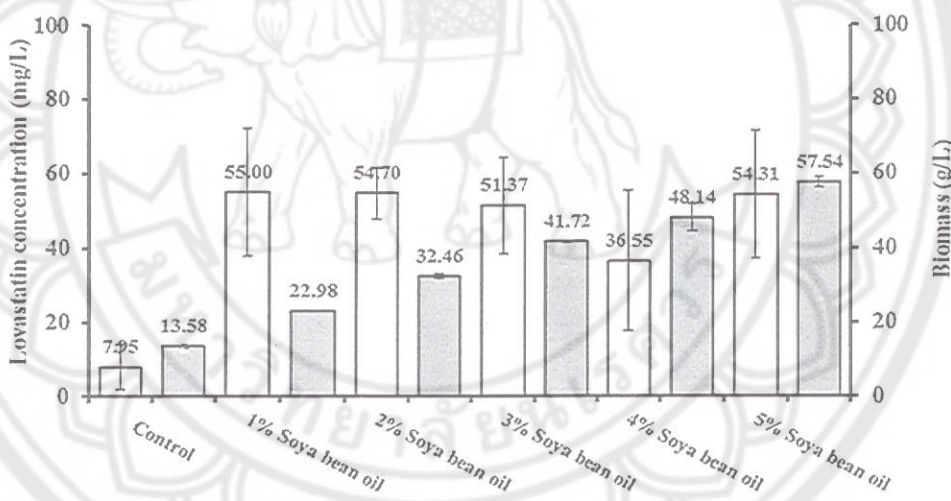
3.2 การศึกษาผลของการใช้น้ำมันพีชบริมาณต่างๆ เป็นแหล่งคาร์บอนเสริมต่อการผลิต lovastatin

จากผลการศึกษาในการเลือกชนิดของน้ำมันพีชซึ่งทำหน้าที่เป็นแหล่งคาร์บอนเสริมที่ให้ผลผลิต lovastatin สูงคือน้ำมันมะพร้าวและน้ำมันถั่วเหลือง ผู้วิจัยได้ศึกษาการเปลี่ยนแปลงความเข้มข้นของน้ำมันมะพร้าวและน้ำมันถั่วเหลืองที่เติมลงในอาหารเหลว โดยศึกษาที่ความเข้มข้นดังนี้ คือ 1 2 3 4 และ 5 %w/v และเปรียบเทียบกับการทดลองควบคุม ดังแสดงในรูป 7 และ 8 สำหรับน้ำมันมะพร้าวและน้ำมันถั่วเหลือง ตามลำดับ

จากการศึกษาผลของน้ำมันมะพร้าวพบว่าปริมาณ lovastatin ที่เกิดขึ้นจะแปรผันกับความเข้มข้นของน้ำมัน คือเมื่อเพิ่มความเข้มข้นของน้ำมันมะพร้าวจะทำให้ปริมาณ lovastatin ลดลงตามลำดับ โดยที่ความเข้มข้น 1 %w/v จะให้ปริมาณ lovastatin สูงสุด (118.15 มิลลิกรัมต่อลิตร) เมื่อเปรียบเทียบกับการทดลองควบคุมพบว่าการเติมน้ำมันมะพร้าวทุกความเข้มข้นให้ปริมาณ lovastatin สูงกว่า สำหรับน้ำมันถั่วเหลือง พบว่าที่ความเข้มข้น 1-5 %w/v จะให้ปริมาณ lovastatin ที่แตกต่างกันคืออยู่ในช่วง 36.55-55.00 มิลลิกรัมต่อลิตร โดยที่ความเข้มข้น 1 %w/v จะให้ปริมาณ lovastatin สูงสุด (55.00 มิลลิกรัมต่อลิตร) ซึ่งผลการทดลองของน้ำมันถั่วเหลืองมีลักษณะเดียวกันกับการวิจัยที่คณะวิจัยได้เคยรายงานไว้ [20] แต่อย่างไรก็ตามการเติมน้ำมันจะให้ปริมาณมากกว่า เมื่อเปรียบเทียบกับการทดลองควบคุม ส่วนปริมาณ biomass ของห้องการศึกษาในน้ำมันมะพร้าว และน้ำมันถั่วเหลืองจะแปรผันตามความเข้มข้นของน้ำมันพีช



รูป 7 การเปรียบเทียบความเข้มข้นของ lovastatin (กราฟแท่งสีขาว) และน้ำหนักเชื้อราแห้ง (กราฟแท่งสีเทา) ที่ผลิตจากเชื้อรา *Aspergillus terreus* ATCC 20542 โดยใช้แหล่งคาร์บอนเสริมจากน้ำมันมะพร้าว ความเข้มข้น 1-5 %w/v (Control = ไม่เติมน้ำมันพืช)



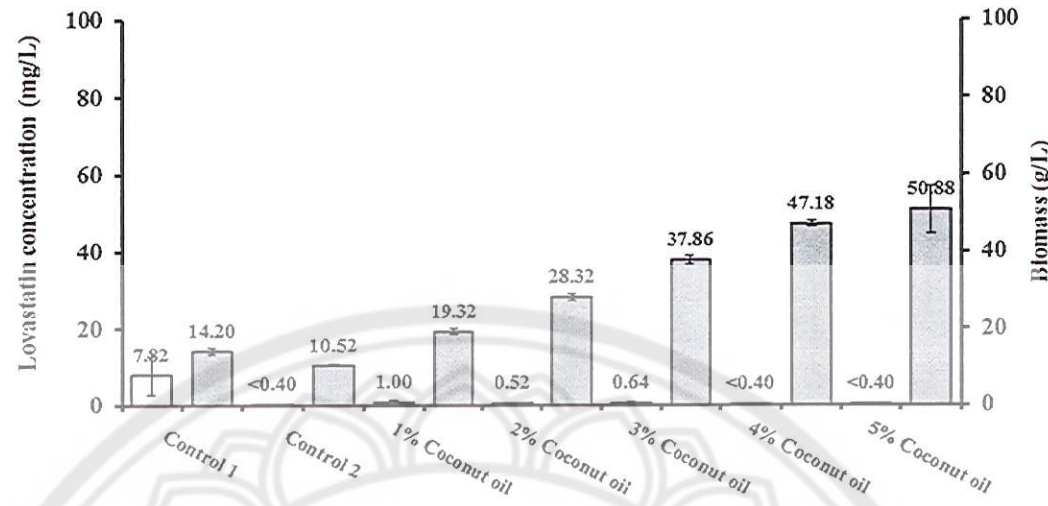
รูป 8 การเปรียบเทียบความเข้มข้นของ lovastatin (กราฟแท่งสีขาว) และน้ำหนักเชื้อราแห้ง (กราฟแท่งสีเทา) ที่ผลิตจากเชื้อรา *Aspergillus terreus* ATCC 20542 โดยใช้แหล่งคาร์บอนเสริมจากน้ำมันถั่วเหลือง ความเข้มข้น 1-5 %w/v (Control = ไม่เติมน้ำมันพืช)

3.3 การศึกษาผลของการใช้น้ำมันพีชเป็นแหล่งคาร์บอนหลักต่อการผลิต lovastatin

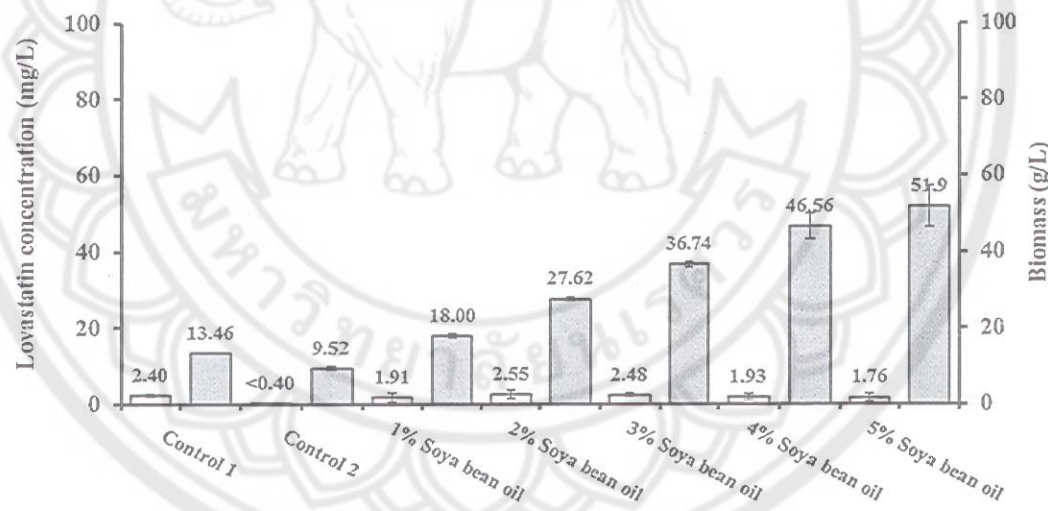
จากการศึกษาการใช้น้ำมันพีช 2 ชนิด คือน้ำมันมะพร้าวและน้ำมันถั่วเหลือง ทำหน้าที่เป็นแหล่งคาร์บอนเสริม โดยมีแหล่งคาร์บอนหลักเป็น lactose สำหรับการศึกษานี้ ผู้จัดได้เปลี่ยนแหล่งคาร์บอนหลักโดยให้น้ำมันพีช 2 ชนิดังกล่าวเป็นแหล่งคาร์บอนหลัก โดยไม่เติมน้ำมันพีช 2 ชนิดดังกล่าวเป็นแหล่งคาร์บอนหลัก โดยไม่เติม lactose ลงให้อาหารเหลวเลี้ยงเชื้อ การเติมน้ำมันในครั้งนี้จะใช้ความเข้มข้น 1-5 %w/v ผลการทดลองแสดงในรูป 9 และ 10 สำหรับน้ำมันมะพร้าวและน้ำมันถั่วเหลือง ตามลำดับ

จากการศึกษาพบว่าการเติมน้ำมันมะพร้าวและน้ำมันถั่วเหลือง เพื่อใช้เป็นแหล่งคาร์บอนหลัก (ความเข้มข้น 1-5 %w/v) มีผลทำให้การผลิต lovastatin มีปริมาณลดลง เมื่อเปรียบเทียบกับการทดลองควบคุมที่เติมน้ำมันพีช (control 1) และการทดลองควบคุมที่ไม่เติมน้ำมันพีชและ lactose (control 2) โดยมีปริมาณ lovastatin มีค่าห้องกว่า 1.00 และ 2.55 มิลลิกรัมต่อลิตร สำหรับน้ำมันมะพร้าวและน้ำมันถั่วเหลือง ตามลำดับ ในขณะที่ปริมาณ biomass ของการศึกษาทั้งในน้ำมันมะพร้าวและน้ำมันถั่วเหลืองจะแปรผันตามความเข้มข้นของน้ำมันพีชที่เติมลงไปในอาหารเหลว

เพราะฉะนั้นจึงสามารถกล่าวได้ว่าน้ำมันพีชเหมาะสมสำหรับใช้เป็นแหล่งคาร์บอนเสริมมากกว่าแหล่งคาร์บอนหลักในการเพิ่มผลผลิตของ lovastatin ซึ่งมีความสอดคล้องกับรายงานการศึกษาการใช้น้ำมันพีชเป็นแหล่งคาร์บอนเสริมในการผลิต tetracycline [15], cephalexin C [16] และ clavulanic acid [17] แต่อย่างไรก็ตามน้ำมันพีชสามารถใช้เป็นแหล่งคาร์บอนหลักได้ในการผลิต erythromycin [14], gentamicin [18] และ cephalosporin C [19]



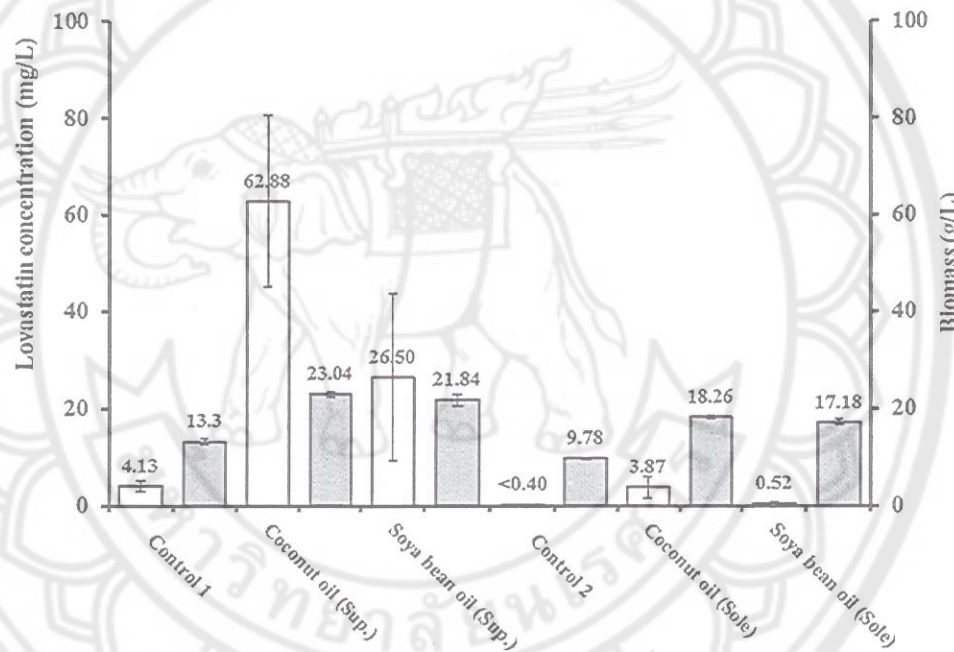
รูป 9 การเปรียบเทียบความเข้มข้นของ lovastatin (กราฟแท่งสีขาว) และน้ำหนักเชื้อราแห้ง (กราฟแท่งสีเทา) ที่ผลิตจากเชื้อรา *Aspergillus terreus* ATCC 20542 โดยใช้แหล่งการ์บอนหลักจากน้ำมันมะพร้าว ความเข้มข้น 1-5 %w/v (Control 1 = ไม่เติมน้ำมันพืช, Control 2 = ไม่เติมน้ำมันพืชและ lactose)



รูป 10 การเปรียบเทียบความเข้มข้นของ lovastatin (กราฟแท่งสีขาว) และน้ำหนักเชื้อราแห้ง (กราฟแท่งสีเทา) ที่ผลิตจากเชื้อรา *Aspergillus terreus* ATCC 20542 โดยใช้แหล่งการ์บอนหลักจากน้ำมันถั่วเหลือง ความเข้มข้น 1-5 %w/v (Control 1 = ไม่เติมน้ำมันพืช, Control 2 = ไม่เติมน้ำมันพืชและ lactose)

3.4 การศึกษาผลของการใช้น้ำมันพืชเป็นแหล่งคาร์บอนหลักและเสริมต่อการผลิต lovastatin

ผู้วิจัยได้ทำการเปรียบเทียบผลของการใช้น้ำมันพืชในการเป็นแหล่งคาร์บอนหลัก และแหล่งคาร์บอนเสริมภายใต้การทดลองครั้งเดียวกัน โดยเปรียบเทียบกับการทดลองควบคุมที่ไม่เติมน้ำมันพืช (control 1) และการทดลองควบคุมที่ไม่เติมน้ำมันพืชและ lactose (control 2) ดังรูป 11 จากการศึกษาพบว่ากลุ่มการทดลองที่มีการเติมน้ำมันพืชและ lactose (control 2) ได้ปริมาณ lovastatin สูงกว่ากลุ่มการทดลองที่ไม่เติมน้ำมันพืชอย่างเดียว รวมทั้งการเติมน้ำมันมะพร้าวจะได้ปริมาณ lovastatin สูงกว่าน้ำมันถั่วเหลือง ผลการทดลองดังกล่าวเป็นการยืนยันว่าการเติมน้ำมันพืชเป็นแหล่งคาร์บอนเจ้าช่วยเพิ่มผลผลิต lovastatin ได้เป็นอย่างดี



รูป 11 การเปรียบเทียบความเข้มข้นของ lovastatin (กราฟแท่งสีขาว) และน้ำหนักเชื้อราแห้ง (กราฟแท่งสีเทา) ที่ผลิตจากเชื้อรา *Aspergillus terreus* ATCC 20542 โดยใช้แหล่งคาร์บอนหลัก (Sole) และแหล่งคาร์บอนเสริม (Sup.) จากน้ำมันมะพร้าวและน้ำมันถั่วเหลือง ความเข้มข้น 1 %w/v (Control 1 = ไม่เติมน้ำมันพืช, Control 2 = ไม่เติมน้ำมันพืชและ lactose)

4. สรุปและเสนอแนะ

Lovastatin สามารถผลิตได้โดยเชื้อรา *Aspergillus terreus* ATCC 20542 เพื่อให้เชื้อราสามารถผลิต lovastatin ได้ในปริมาณที่เหมาะสม สารอาหารที่เติมลงในอาหารเหลวสำหรับเลี้ยงเชื้อมีความสำคัญต่อการผลิต secondary metabolite ซึ่งจะส่งผลโดยตรงต่อปริมาณผลิตภัณฑ์ lovastatin ที่เกิดขึ้น ชนิดของน้ำมันพืชที่เติมลงในอาหารเลี้ยงเชื้อมีผลต่อปริมาณ lovastatin ที่เกิดขึ้น ซึ่งเกิดขึ้นจากน้ำมันพืชต่อชนิดมีปริมาณและชนิดของกรดไขมันรวมถึงสารอื่นๆ ในสัดส่วนที่แตกต่างกันไป ปริมาณน้ำมันพืชที่มากเกินไปจะทำให้ปริมาณผลิตภัณฑ์ลดลง การเติมน้ำมันพืชซึ่งทำหน้าที่เป็นแหล่งคาร์บอนเสริมลงในอาหารเหลวเลี้ยงเชื้อมีผลทำให้ lovastatin มีปริมาณสูงขึ้น แต่อย่างไรก็ตามควรเติมควบคู่กับแหล่งคาร์บอนหลัก เช่น lactose เป็นต้น ทั้งนี้เนื่องจากน้ำมันพืชสามารถเปลี่ยนเป็นแหล่งคาร์บอนและสารอาหารที่ให้พลังงานได้ และอาจจะช่วยเปลี่ยนแปลงกลไกการผลิต lovastatin ในระดับยีน

บรรณานุกรม

- [1] Tobert JA. (1987). New developments in lipid-lowering therapy: the role of inhibitors of hydroxymethylglutaryl coenzyme A reductase. *Circulation*, 76, 534-538.
- [2] Alberts AW, Chen J, Kuron G, Hunt V, Huff J, Hoffman C, et al. (1980). Mevinolin: a highly potent competitive inhibitor of hydroxymethylglutaryl-coenzyme A reductase and a cholesterol-lowering agent. *Proc. Natl. Acad. Sci. USA*, 77, 3957-3961.
- [3] Alberts AW. (1990). Lovastatin and simvastatin-inhibitors of HMG CoA reductase and cholesterol-biosynthesis. *Cardiology*, 77, 14-21.
- [4] Manzoni M, Rollini M. (2002). Biosynthesis and biotechnological production of statins by filamentous fungi and application of these cholesterol-lowering drugs. *Appl. Microb. Biotechnol.*, 58, 555-564.
- [5] Greenspan MD, Yudkovitz JB. (1985). Mevinolinic acid biosynthesis by *Aspergillus terreus* a relation to fatty acid biosynthesis. *J. Bacteriol.*, 2, 704-707.
- [6] Daborah RA, Lein J, Conder MJ, Tewalt GL. (1992). Enzymatic deacylation of simvastatin. *British Patent*, GB2255974.
- [7] Kumar MS, Jana SK, Senthil V, Shashanka V, Kumar SV, Sadhakhan AK. (2000). Repeated fed-batch process for improving lovastatin production. *Process Biochemistry*, 36,363-368.
- [8] Lopez JLC, Perez JAS, Sevilla JMF, Fernandez FGA, Grima EM, Chisti Y. (2003). Production of lovastatin by *Aspergillus terreus*: effects of the C:N ratio and the principal nutrients on growth and metabolite production. *Enzyme Microb. Technol.*, 33, 270-277.
- [9] Hajjaj H, Niedererger P, Duboc P. (2001). Lovastatin biosynthesis by *Aspergillus terreus* in a chemical defined medium. *Appl. Environ. Microbiol.*, 67, 2596-2602.
- [10] Lai LT, Pan CC, Tzeng BK. (2003). The influence of medium design on lovastatin production and pellet formation with a high-producing mutant of *Aspergillus terreus* in submerged cultures. *Process Biochem.*, 38, 1317-1326.
- [11] Bizukoje M, Pawlowska B, Ledakowicz S. (2007). Supplementation of the cultivation media with B-group vitamins enhances lovastatin biosynthesis by *Aspergillus terreus*. *J. Biotechnol.*, 127, 258-268.

- [12] Lopez JLC, Perez JAS, Sevilla JMF, Fernandez FGA, Grima EM, Chisti Y. (2004). Fermentation optimization for the production of lovastatin by *Aspergillus terreus*: use of response surface methodology. *J. Chem. Technol. Biotechnol.*, 79, 1119-1126.
- [13] Jia Z, Zhang X, Cao X. (2009). Effects of carbon sources on fungal morphology and lovastatin biosynthesis by submerged cultivation of *Aspergillus terreus*. *Asia-Pacific J. Chem Eng.*, 4, 672-677.
- [14] Hamed J, Malekzadeh F, Saghafi-nia AE. (2004). Enhancing of erythromycin production by *Saccharopolyspora erythraea* with common and uncommon oils. *J. Ind. Microbiol. Biotechnol.*, 31, 447-456.
- [15] Jones AM, Porter MA. (1998). Vegetable oils in fermentation: beneficial effects of low-level supplementation. *J. Ind. Microbiol Biotechnol.*, 21, 203-207.
- [16] Park YS, Momose I, Tsunoda K, Okabe M. (1994). Enhancement of cephamycin C production using soybean oil as the sole carbon source. *Appl. Microbiol. Biotechnol.*, 40, 773-779.
- [17] Maranesi GL, Baptista-Neto A, Hokka CO, Badino AC. (2005). Utilization of vegetable oil in the production of clavulanic acid by *Streptomyces clavuligerous* ATCC 27064. *World J. Microbiol. Biotechnol.* 21, 509-514.
- [18] Choi DB, Park SS, Ahn BK, Lim DH, Lee YW, Moon JH, Sin DY. (2008). Studies on production of gentamicin from *Micromonosporas purpurea* using crude vegetable oils. *Process Biochem.*, 43, 835-841.
- [19] Kim JH, Lim JS, Kim SW. (2004). The improvement of cephalosporin C production by fed-batch culture of *Cephalosporium acremonium* M25 using rice oil. *Biotechnol. Bioprocess Eng.*, 9, 459-464.
- [20] Sripalakit S, Riunkesorn J, Saraphanchotiwitthaya A. (2011). Improvement of lovastatin production by *Aspergillus terreus* ATCC 20542 using vegetable oils. *Maejo. Inter. J. Sci. Technol.*, 5, 231-240.
- [21] Sorrentino F, Roy I, Keshavarz T. (2010). Impact of linoleic acid supplementation on lovastatin production in *Aspergillus terreus* cultures. *Appl. Microbiol. Biotechnol.* 88, 65-73.

ภาคผนวก ก

ตัวชี้วัดเพื่อการประเมินผลสำหรับของโครงการ

1. นำเสนอผลงานในงานประชุมวิชาการที่มีการตีพิมพ์เฉพาะ Abstract จำนวน 1 เรื่อง

งานประชุมวิชาการ : การประชุมวิชาการวิทยาศาสตร์และเทคโนโลยีแห่งประเทศไทย
ครั้งที่ 37 (วทท 37)

The 37th Congress on Science and Technology of Thailand (STT 37)

วันที่ : 10-12 ตุลาคม 2554

สถานที่ : โรงแรมเช็นทาราแกรนด์ และ บางกอกคอนเวนชั่นเซ็นเตอร์
เช็นทรัลเวลเดส์ กรุงเทพฯ

หัวข้อเรื่อง : Improvement of lovastatin production by *Aspergillus terreus* using
vegetable oils as sole and supplementary carbon sources

รูปแบบการนำเสนอ : โปสเตอร์และตีพิมพ์ Abstract ในเอกสารประกอบการประชุม
“The 37th Congress on Science and Technology of Thailand: Creative
Sciences for Creating the Future”



STT37-0357



Science Society of Thailand Under the Royal Patronage of His Majesty the King, Faculty of Science,
 Chulalongkorn University, Phaya Thai Rd., Bangkok 10330
 Tel: 085-018-3131, 02-2527987, 02-2185245 Fax. 02-2527987
 E-mail: s_srisung@hotmail.com, kkung.scisoc@gmail.com, jaksriri14@hotmail.com

Acknowledgement

Dear Pattana Sripalakit

The secretariat committee of STT37 would like to inform you that we have received your STT37 registration information for ID: **0357** and e-mail address: **pattanas@nu.ac.th**
 The secretariat committee of STT37 have received

Ordinary participant Participant with paper submission

We received the payment as cash bank transferred cheque bank
 with amount **1,800.00** baht (หนึ่งพันแปดร้อยบาทถ้วน)

Your submitted paper entitled **Improvement of lovastatin production by Aspergillus terreus ATCC 20542 using vegetable oils as sole and supplementary carbon sources**
 was reviewed from academic subcommittee of STT with the result:

- Poster
- Oral presentation (the presentation schedule can be checked at the uploaded files)
- Not accepted

Sincerely yours,

Associate Professor Dr. Thararat Supasiri



Improvement of Lovastatin Production by *Aspergillus terreus* ATCC 20542 Using Vegetable Oils as Sole and Supplementary Carbon Sources

Pattana Sripalikit, Janya Rlunkesorn, Aurasorn Saraphanchotiwitthaya

Faculty of Pharmaceutical Sciences, Naresuan University, Phitsanulok 65000, THAILAND

pattanas@nu.ac.th (P. Sripalikit)

Abstract

This study investigated the effect of vegetable oils as sole and supplementary carbon sources during the production of lovastatin by *Aspergillus terreus* ATCC 20542 in submerged culture. The eleven vegetable oils tested were camellia tea oil, canola oil, coconut oil, corn oil, olive oil, palm olein oil, rice bran oil, safflower oil, sesame oil, soya bean oil and sunflower oil. Lovastatin concentration and biomass were measured. Lovastatin production was higher in oil-containing media compared with the control medium. In particular, coconut oil and soya bean oil significantly improved lovastatin production. Yields with coconut oil and soya bean oil were 8- and 5-fold higher, respectively, compared with control media without oil supplementation. Biomass was proportional to coconut oil concentration, but an excessive concentration of oil resulted in a lower yield. The cultivations with coconut oil and soya bean oil used as a sole carbon source gave lower production than the control medium. Thus, it can be concluded that vegetable oils appear to be excellent supplementary carbon sources for improving lovastatin production efficiency.

Introduction

Hypercholesterolemia is considered as an important risk factor in coronary artery diseases of human being. Lovastatin, a widely used anti-hypercholesterolemic drug, is a secondary metabolite produced by the fermentation of *A. terreus*. As with any fermentation product, the culture medium has a significant influence on the yield of product. The selection and composition optimization of a suitable medium is important for establishing a process for producing lovastatin. Numerous examples of the successful use of vegetable oils as carbon sources are cited in the literature. Many studies proved that the vegetable oils can improving fermentation efficiency.

The present work reports on the effect of adding vegetable oils as a sole and supplementary carbon sources to enhance fermentation productivity of lovastatin by *A. terreus*.

Methodology

The standard fungal of *A. terreus* was reactivated by culturing on PDA (potato dextrose agar) slants at room temperature. The culture media contained (per L): 10 g lactose (C source), 8 g yeast extract (N source), 1.51 g KH_2PO_4 , 0.52 g $\text{MgSO}_4 \cdot 7\text{H}_2\text{O}$, 0.4 g NaCl, 1 mg $\text{ZnSO}_4 \cdot \text{H}_2\text{O}$, 2 mg $\text{Fe}(\text{NO}_3)_3$, 0.04 mg biotin and some trace elements. All fermentations were carried out at room temperature in 250-mL shake flasks held on a orbital shaker (150 rpm). Lovastatin was extracted by ethyl acetate from the media and was determined as its β -hydroxyacid form by high performance liquid chromatography (HPLC).

Results and Discussion

The maximum production levels of lovastatin were found in coconut oil and soya bean oil, whereas sesame oil gave lowest production (Fig. 1). As supplementary oil concentration of 1 %v/v resulted in the highest lovastatin production; higher concentrations tended to give lower yields (Fig. 2). The biomass increased with increasing oil concentration, which suggests that cell growth is related to oil concentration. Fig. 3 shows the effects of vegetable oils in different concentration as a sole carbon source. The experiment with only oil as carbon source shows negative effect on lovastatin production. Vegetable oil used as supplementary carbon source gave higher yield than their sole carbon source (Fig. 4).

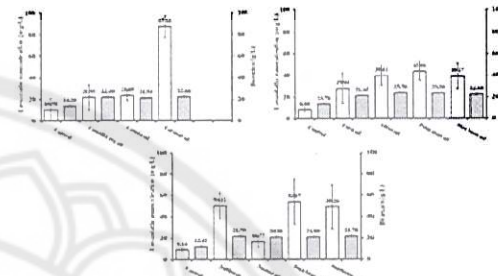


Fig. 1 Effect of vegetable oils on lovastatin production (light bar) and biomass (dark bar)

